

SERIE A
OBSERVATIONS
FASCICULE No 5

ANNUAIRE SÉISMIQUE

ANNÉE VII

1927

PHÉNOMÈNES INSCRITS
(MICROSÉISMES)

PUBLIÉ SOUS LA DIRECTION DE L'INSTITUT SEISMOLOGIQUE
DE L'UNIVERSITÉ DE BEOGRAD

PAR

PROF. J. MIHAILOVIĆ

DIRECTEUR DE L'INSTITUT SÉISMOLOGIQUE.



BEOGRAD
IMPRIMERIE D'ETAT
1930.

Prix 20 Din.

This book was donated to the ISC
from the collection of
Professor Nicolas N Ambraseys
1929-2012



PUBLICATIONS DE L'INSTITUT SÉISMOLOGIQUE DE L'UNIVERSITÉ DE BEOGRAD

SERIE A
OBSERVATIONS
FASCICULE No 5

ANNUAIRE SÉISMIQUE

ANNÉE VII

1927

PHÉNOMÈNES INSCRITS
(MICROSÉISMES)

STATIONS SÉISMOLOGIQUES

Beograd	Mostar
Ljubljana	Gorje
Sarajevo	Šibenik
Dubrovnik	

PUBLIÉ SOUS LA DIRECTION DE L'INSTITUT SÉISMOLOGIQUE
DE L'UNIVERSITÉ DE BEOGRAD

PAR

PROF. J. MIHAILOVIĆ

DIRECTEUR DE L'INSTITUT SÉISMOLOGIQUE.



BEOGRAD
IMPRIMERIE D'ETAT
1930.

TABLE DES MATIÈRES:

	page
1 ^o . — Séismogrammes (lectures).....	5
2 ^o . — Le tremblement de terre de Rudnik, par M. Simović.....	79
3 ^o . — Microséismes.....	87
4 ^o . — Carte des directions et des lignes équidistantes de Beograd, par † G. Grablowitz.....	89

POSITIONS GÉOGRAPHIQUES

des stations séismologiques dont les lectures des séismogrammes sont énumérées dans cette publication.

Station :	Lat. N.	Long.	E. de Greenw.	Alt. s. m.	Sous-sol
Beograd ..	44° 49' 17,"2	20° 27' 19,"2	= 1h 21m 49s	128,658 m	roche calcaire
Ljubljana .	46° 02' 48"	14° 30' 36"	= 0h 58m 02s	300 m	caillous fluv.
Sarajevo .	43° 52' 08"	18° 25' 39'	= 1h 13m 42s	630 m	marnes tertiaires
Mostar ...	43° 20' 54"	17° 48' 40"	= 1h 11m 15s	70,35 m	congl. diluviens
Gorje	46° 23' 24"	14° 05' 10"	= 0h 56m 20s	600 m	roche calcaire
Šibenik ..	43° 44' 40	15° 53' 90	= 1h 03m 35s	4,5 m	calcaires triassiques
Dubrovnik	42° 38' 11	18° 6' 45"	= 1h 12m 27s	12,4 m	calcaires triassiques

APPAREILS :

STATION	Type	1 janvier				1 juillet				31 decembre			
		T ₀	E	V	$\frac{r}{T_0^2}$	T ₀	E	V	$\frac{r}{T_0^2}$	T ₀	E	V	$\frac{r}{T_0^2}$
Beograd Institut Séismologique de l'Université	Wiechert 200 kg astat...	6,0	4,2	120	0,0080	6,0	4,2	120	0,0060	6,0	4,2	120	0,0100
	Belar 360 kg (Wiech) NS	4,6	4,0	160	0,0710	4,6	4,1	120	0,0576	4,6	4,2	110	0,0525
	Belar 360 kg (Wiech) EW	4,2	4,1	150	0,0270	4,2	4,1	150	0,0646	4,1	4,0	800	0,0708
	Conrad.....	3,6	4,1	30	0,020	3,6	4,1	30	0,020	3,6	4,1	30	0,020
	Belar Vertic.	0,6	3,0	20	0,020	0,6	3,0	20	0,020	0,6	3,0	20	0,020
Sarajevo Observatoire Météorologique	Wiech. astat. 200 kg....	4,2	3,6	90	0,080								
Ljubljana Institut Météorologique de l'Université	Wiechert ast. 200 kg NW	6	4,4	114	0,066								
	Vicentini	2,1	1,1	90	0,120								
Mostar Observatoire Météorologique	Belar nouv. construction												
	Conrad EW	4,0	4,3	15	0,100								
Gorje Observatoire Belar	Conrad EW	5,3	2,4	12	0,008								
Šibenik Ecole de sous-officiers de la Marine Militaire													
Dubrovnik Academie Militaire de la Marine													

LECTURE :

P	= ondes primaires supérieures ou soulignées (d'après M. Mohorovičić jusqu'à 200 km)
Pn	= ondes primaires normales (d'après M. Mohorovičić depuis 200 km)
P	= ondes primaires (d'après M. Wiechert)
PR	= réflexions des ondes primaires
S	= ondes secondaires supérieures (d'après M. Mohorovičić)
S	= ondes secondaires (d'après M. Wiechert)
RS	= réflexions des ondes secondaires
L	= ondes longues
M	= ondes du mouvement maximal
C	= fin du mouvement maximal (coda)
F	= fin du séismogramme
i	= impetus (onde nette)
e	= emersie (onde visible)
T	= durée d'une oscillation (période)
A	= amplitude du mouvement du sol en microns (μ) de la position de l'équilibre

PRÉFACE

La présente publication contient quatre parties :

1^o — Les lectures des séismogrammes inscrits dans les stations séismologiques de *Beograd, Ljubljana, Sarajevo, Mostar, Šibenik, Dubrovnik et Gorje*.

2^o — *Interpretation des séismogrammes du grand tremblement de terre de Rudnik* du 15 mai 1927, par M^{lle} Milka Simović, prof. chef du service microséismique de l'Institut séismologique.

3^o — Les lectures des oscillations microséismiques quotidiennes à 6 h, 12 h, 18 h et 24 h, maximum et les groupes des oscillations pulsatoires d'une longue durée inscrites à *Beograd*.

4^o — *Carte des directions et des distances en km, de Beograd avec la liste des coordonnées géographiques des intersections des directions azimutales avec les lignes équidistantes de Beograd, faite à l'Ischia en decembre 1909* par † Giulio Grablovitz.

L'Institut Géophysique de *Zagreb* publie régulièrement son Bulletin Séismique Mensuel et s'est chargé de publier ultérieurement les analyses définitives des séismogrammes inscrits dans tous les stations séismologiques du Royaume.

La station du M. A. Belar à Gorje a fonctionné toute l'année, mais il est à regretter le manque de l'heure précise à cause que les lectures n'ont pu être publiées.

Nous avons installé une station à Dubrovnik auprès de l'Académie de la Marine Militaire qui se trouve dans des bonnes conditions au point de vue du bâtiment, du terrain et, en ayant le poste radiotélégraphique, pour obtenir l'heure précise.

J. M.

1^o — SÉISMOGRAMMES

Station	Caractère	Phase	Heure t. m. Gr.			Période sec.	Amplitude (microns)		Distance km	Remarques
			h	m	s		A _N	B _E		
Janvier 1927.										
N^o 1 — 3 Janvier										
Beograd	Ov	e(P) _N	12	31	08,9	03,0	.	.	(550)	Seismogramme perturbé
		e _E	12	31	28,5	02,0	.	.		
		e _S _N	12	32	34,9	04,0	.	.		
		i _E	12	32	56,6	02,0	.	.		
		F	12	36						
N^o 2 — 15 Janvier										
Beograd	I d	e _{P,N,E}	15	54	07,8	01,2:01,5	2		225	
		i _S _N	15	54	39,7	02,4	2			
		i(S) _E	15	54	45,1	02,3		5		
		M _E	15	55	07,8	02,3		13		
		i _E	15	55	22,5	02,3		6		
		M _N	15	55	25,2	02,4	5			
		i _E	15	55	49,5	02,3		4		
Ljubljana		F	16	04						
		e	15	55	33					
		i	15	55	49					
		i	15	56	13					
		C	15	58	55					
Mostar	II d	F	16	06						
		P	20	47	56				260	
		P	20	48	17					
		S	20	48	32					
		M	20	48	38		10			
C	20	50	00							
Mostar	II d	F	20	52						

SÉISMOGRAMMES

Station	Caractère	Phase	Heure t. m. Gr.			Période sec.	Amplitude (microns)		Distance km	Remarques
			h	m	s		A _N	A _E		
Beograd		ePE	20	48	12,1	01,4	4	14 60	390	ZAGREB: eP 20 h 48 m 39,8 s Δ = 525 km.
		iPN	20	48	28,8	02,1	5			
		iSE	20	48	58,3	02,0				
		M _{1E}	20	49	12,1	02,2				
		M _{1N}	20	49	12,2	02,7	12			
		M _{2N}	20	49	56,2	02,7	10			
		iN	20	50	16,2		8			
		F	20	56						
Ljubljana		eP	20	49	17	04,0	10	440		
		eS	20	50	11					
		M	20	50	36					
		C	20	54	08					
		F	21	06						
N ^o 4 — 21 Janvier										
Mostar	I d	P	02	35	43			20		
		S	02	35	47					
		M ₁	02	35	51					5
		M ₂	02	36	02					2
		M ₃	02	36	11					1
N ^o 5 — 21 Janvier										
Mostar	II d	P	19	51	06			20		
		S	19	51	10					
		M	19	51	18					27
		F	19	51	50					
N ^o 6 — 23 Janvier										
Sarajevo	II d	iP	03	23	38			112	Ressenti assez fort à Livno 43°51' N, 17° 00' E Gr. v. Macroséisme N ^o 15	
		iRiP	03	23	40					
		iRsP	03	23	49					
		iS	03	23	51					
		iRsR ₂ S	03	23	55					
		M	03	24	09					00,5
		F	03	27						
Beograd		ePN	03	24	11,2		2	300 SW		
		ePE	93	24	12,1					00,7
		eRsPN	03	24	14,2					00,6
		eRiPSN	03	24	39,4					00,6
		iSN	03	24	49,0					01,2
										2
										3

SÉISMOGRAMMES

Station	Caractère	Phase	Heure t. m. Gr.			Période sec.	Amplitude (microns)		Distance km	Remarques					
			h	m	s		A _N	A _E							
Beograd		M _{1N}	03	24	57,4	02,1	5	6	315						
		M _{1E}	03	25	02,2										
		M _{2N}	03	25	05,7		4								
		M _{3N}	03	25	11,6		4								
		iE	03	25	19,7		02,0								
		iE	03	25	35,4		02,0								
		iE	03	25	51,1		02,0								
		F	03	30											
		Ljubljana		eP	03		24				13,6	04,0	4	315	
				eP*	03		24				18,8				
eP	03			24	24,3										
eRsP	03			24	27,8										
iS	03			24	49,6										
M	03			25	01,8										
i	03			25	08,6										
i	03			25	18,1										
F	03			30											
N ^o 7 — 24 Janvier															
Ljubljana	O	eP	01	25	17										
		e	01	25	28										
		e	01	26	15										
		e	01	26	42										
		e	01	27	56										
		e	01	28	44										
		e	01	29	36										
		eS?	01	32	17										
		e	01	47	46										
		eL	02	07	44										
Beograd		M	02	22	56	30	50								
		F	03	30											
		e(P)	01	25	22,3	02,0									
		e	01	25	44,0										
		e	01	26	25,7										
		e	01	28	int.										
		e	01	29	int.										
e	01	29	45,0												
F	01	36													
Les données ne permettent pas de détermination.															

SÉISMOGRAMMES

SÉISMOGRAMMES

Station	Caractère	Phase	Heure t. m. Gr.			Période sec.	Amplitude (microns)		Distance km	Remarques	
			h	m	s		A _N	A _E			
N^o 8 — 24 Janvier											
Ljubljana	O	e	05	24	36						
			05	25	10						
			05	25	13						
			05	42							
N^o 9 — 31 Janvier											
Beograd	Ov	eP	05	06	59,6				550		
			05	07	16,3						
			05	08	03,8						
			05	08	34,8						
			05	09	int.	02,2					
			05	12							
Février 1927.											
N^o 10 — 3 Février											
Ljubljana		eL	04	31	48						
			04	35	37	25	59				
N^o 11 — 3 Février											
Ljubljana		eL	05	32	18						
			05	34	24	23	31				
			06	06							
N^o 12 — 6 Février											
Ljubljana		e	06	10	54						
			06	13	14						
N^o 13 — 14 Février											
Mostar	III d	P	03	43	24				45		
			03	43	30						
			03	43	38						
Sarajevo	III d	eP	03	43	39				110		
			03	43	42						
			03	43	52						
			03	44	01						
			03	44	04						
			03	44,5							
ZAGREB: P 03h 44m 16,4 s Δ = 350 km											
Ruineux, en Hercegovina v. Macroséisme N^o 70.											

Station	Caractère	Phase	Heure t. m. Gr.			Période sec.	Amplitude (microns)		Distance km	Remarques	
			h	m	s		A _N	A _E			
Beograd	III d	iP*E	03	44	01,7				275		
			03	44	02,8			4	SW		
			03	44	07,1	02,0		37			
			03	44	07,9	01,8		66			
			03	44	14,2	02,0		11			
			03	44	14,2			170			
			03	44	31,6			176			
			03	44	39,6	04,0		160			
			03	44	41,2	04,5		180			
			03	44	49,2	04,0		160			
			03	44	51,7			350			
			03	45	00,4			520			
			03	45	13,2			362			
			03	45	24,7			358			
			03	45	51,7	04,5		172			
			03	46	30,1	04,5		168			
			03	46	48,7			71			
			03	47	13,6	04,2		84			
			03	47	24,1	04,2		71			
			03	47	32,8	03,9		71			
			03	47	58,7	02,5		330			
			03	48	06,7	04,5		56			
			03	48	21,7	03,9		40			
03	48	27,7	04,5		60						
03	48	36,6			35						
03	49	00,4			31						
03	49	03,7	04,5		44						
03	49	30,7	04,5		50						
03	49	50,2	03,9		31						
03	50	03,2	03,9		25						
03	50	24,7			18						
03	50	54,7			12						
03	51	24,7			14						
03	51	37									
04	05										
N^o 14 — 14 Février											
Sarajevo	I d	iP	04	28	42				110	v. Macroséisme	
			04	28	44					N ^o 77	
			04	28	47						
			04	28	48						

SÉISMOGRAMMES

Station	Caractère	Phase	Heure t. m. Gr.			Période sec.	Amplitude (microns)		Distance km	Remarques		
			h	m	s		A _N	A _E				
Sarajevo		iS	04	28	55	00,2						
		M	04	28	57							
		F	04	30,6								
N^o 15 — 14 Février												
Sarajevo	Id	P	04	38	int.	01,0			140	v. Macro-séisme N ^o 78		
		iRiP	04	37	05,8							
		iS	04	37	17,0							
		F	04	38,0								
N^o 16 — 14 Février												
Sarajevo	O	eP	04	53	39							
		i	04	53	42							
		i	04	53	48							
		i	04	53	51							
		F	04	54,8								
N^o 17 — 14 Février												
Mostar	Od	P	04	57	32				110	v. Macro-séisme N ^o 79		
Sarajevo		e(P)	04	57	42							
		eS	04	57	55							
	F	04	58,3									
N^o 18 — 14 Février												
Mostar	Id	P	08	42	30				110	v. Macro-séisme N ^o 92		
Sarajevo		eP	08	42	47							
		iRiP	08	42	51							
		iR _s P	08	42	57							
		iS	08	43	00,0							
		iR _s P ₂ S	08	43	04							
		iRiS	08	43	06							
		i	08	43	09							
F	08	43,7										
N^o 19 — 16 Février												
Beograd	Il u	ePN	01	47	30,3	02,8	2	8970		NE Région des Kouriles		
		ePE	01	47	33,2							
		ePCPN	01	47	37,3							
		eN	01	48	31,5						02,2	2
		eSN	01	57	39,0						05,6	6
		eSE	01	57	43,5							

SÉISMOGRAMMES

Station	Caractère	Phase	Heure t. m. Gr.			Période sec.	Amplitude (microns)		Distance km	Remarques
			h	m	s		A _N	A _E		
Beograd		eN	01	59	31,7	06,4		2		
		eLN	02	16	52,6	12,0		2		
		eLE	02	18	59,8	17,0				
		M ₁ N	02	21	32,0	16,8	4			
		LE	02	21	43,4	15,5				
		M ₂ N	02	22	35,2	15,7	6			
		LE	02	24	46,0	12,7		2		
		LF	02	26	04,8	15,5		2		
		M ₃ N	02	26	40,1	13,8	6			
		MHN	02	28	30,2	13,3	6			
		M ₁ E	02	28	32,9	15,1		4		
		M ₂ E	02	29	42,7	14,1		4		
		M ₅ N	02	29	49,8	15,0	5			
		M ₆ N	02	31	29,9	12,0	4			
		LE	02	33	32,7	13,2		4		
		M ₇ N	02	37	32,0	15,3	8			
		LE	02	37	35,3	14,1		3		
		LN	02	41	23,9	12,0	2			
		LN	02	45	26,3	15,6	2			
		LN	02	47	44,6	14,0	2			
LN	02	54	28,1	12,0	2					
eW ₁ N	03	08	39,2	03,1						
LN	03	46	03,0	13,6	2					
LN	03	48	22,2	14,5	2					
LN	03	51	28,8	14,5	2					
LN	03	53	01,8	14,5	2					
LN	03	55	30,1	13,8	2					
LN	03	59	42,0	13,0	2					
F	04	45								
Ljubljana		eP	01	47	34	15,0	82			
		e	01	54	34					
		e(S)	01	57	34					
		eL	02	16	13					
		M	02	23	22					
		F	05	06						
N^o 20 — 16 Février										
Mostar	Id	P	16	43	21			35	v. Macro-séisme N ^o 128	
S		16	43	26						
M		16	43	36						4
F		16	44							

SÉISMOGRAMMES

SÉISMOGRAMMES

Station	Caractère	Phase	Heure t. m. Gr.			Période sec.	Amplitude (microns)		Distance km	Remarques
			h	m	s		A _N	A _E		
N^o 21 — 17 Février										
Mostar	Id	P	09	01	22			3	20	v. Macro-séisme N ^o 134
		S	09	01	26					
		M	09	01	32					
		F	09	02						
N^o 22 — 18 Février										
Mostar	Id	P	20	18	54			4	5	v. Macro-séisme N ^o 141
		S	20	18	57					
		M ₁	20	19	00					
		M ₂	20	19	08					
		M ₃	20	19	16					
		M ₄	20	19	28					
N^o 23 — 20 Février										
Ljubljana	II d	P	06	48	06				185	ZAGREB: P 06 h 47 m 51.4 s Δ = 105 km. Ressenti dans la ré- gion de Legrad
		S	06	48	31					
		M	06	48	42					
		C	06	50	24					
Beograd	II d	F	06	55				2	315	N. W. v. Macro-séisme N ^o 146
		eP _E	06	48	36,5	01,7				
		eP _N	06	48	40,8					
		eS _{N,E}	06	49	16,1	02,0				
		M _{1N}	06	49	23,2					
		M _{1E}	06	49	23,8	02,0				
		M _{2N}	06	49	29,1	01,5				
		M _{2E}	06	49	30,7	01,7				
		M _{3E}	06	49	38,4	01,7				
		M _{4E}	06	49	54,1	01,7				
iE	06	50	03,9	01,7						
FE	06	54								
N^o 24 — 20 Février										
Beograd	II d	eP _N	23	36	52,5			2	280	Réplique du séismo précédent v. Macro-séisme N ^o 153
		eS _N	23	38	17,5					
		eE	22	38	37,7					
		M _{1N}	23	38	52,3					
		M _{2N}	23	39	30,8					
		iE	23	39	37,7					
		iE	23	40	28,3					
F	23	45								

Station	Caractère	Phase	Heure t. m. Gr.			Période sec.	Amplitude (microns)		Distance km	Remarques
			h	m	s		A _N	A _E		
N^o 25 — 21 Février										
Mostar	Od	P	21	17	34				125	
		S	21	17	50					
		M ₁	21	17	54					
		M ₂	21	18	03					
		F	21	18	16					
N^o 26 — 25 Février										
Mostar	Od	P	01	09	10			3	20	v. Macro-séisme N ^o 161
		S	01	09	14					
		M	01	09	18					
		F	01	09	40					
Mars 1927.										
N^o 27 — 3 Mars										
Beograd	O	e(P) _N	01	23	08,4	02,7		2		Composante NS pas des phases nettes — Composante EW tra- ces illisibles
		e _N	01	25	10,7	03,4				
		e(S) _N	01	31	11,4	04,9				
		e _N	01	34	21,4	04,2				
		eL _N	02	01	39,3	18,2				
		L _N	02	06	10,4	19,5	4			
		L _N	02	08	08,0	17,0	4			
		L _N	02	10	44,3					
		L _N	02	14	22,6					
		L _N	02	18	57,7	17,0				
		L _N	02	28	12,5	15,1				
		L _N	02	32	19,5	13,0				
L _N	02	38	16,6	14,4						
F	02	50								
N^o 28 — 7 Mars										
Beograd	III u	eP _N	09	39	56,8	03,6	4	8890		Destructeur en Japon
		eP _E	09	39	57,0	03,0				
		iE	09	40	06,8	03,0				
		iE	09	40	24,0	03,0				
		eE	09	41	30,1	03,0				
		e _N	09	41	54,8	03,3	8			
		e _N	09	46	13,3	04,2	9			
		eS _E	09	49	59,8					
		eS _N	09	50	04,4	06,6	8			
		e _N	09	52	17,6	05,4	6			

Station	Caractère	Phase	Heure t. m. Gr.			Période sec.	Amplitude (microns)		Distance km	Remarques	
			h	m	s		A _N	A _E			
Beograd		eLE	10	04	54,6						
		eLN	10	05	05,6	12,0	4				
		LN	10	10	16,4	11,0	8				
		LE	10	12	00,0	15,0		4			
		M ₁ N	10	13	03,9	16,6	50				
		LE	10	13	22,9	14,0		8			
		M ₂ N	10	13	52,4	16,7	66				
		ME	10	15	36,2	13,5		12			
		ME	10	17	02,3	11,2		12			
		M ₃ N	10	17	57,2	13,8	54				
		ME	10	18	11,6	13,8		14			
		M ₁ N	10	19	40,1	12,6	33				
		M ₅ N	10	22	36,9	12,6	26				
		iN	10	23	55,2	11,0	31				
		iN	10	24	59,0	13,2	16				
		iN	10	26	35,0	12,0	18				
		iN	10	29	08,0	11,7	14				
F	11	10									
Sarajevo		e	09	0	17	5					
		e	09	43	18						
		e	09	47	15						
		e(S)	09	49	08	10					
		eL	10	02		26,5					
		eL	10	12	int.	17					
		M ₁	10	17	03	10	22				
		M ₂	10	18	20	14	33				
		M ₃	10	21	00	10	22				
F	10	52									
Ljubljana		e(P)	(09	40	16)						
		iS	09	50	18						
		eL	10	04	45						
		M _{NE, NW}	10	13	30	19	1066	203			
		F	11	54							
Mostar	Id	P̄	N ^o 29 — 9 Mars								
			06	56	13				45	v. Macroséisme	
			06	56	19						N ^o 183
			06	56	22			5			
			06	56	40						
		F	07	03							

Station	Caractère	Phase	Heure t. m. Gr.			Période sec.	Amplitude (microns)		Distance km	Remarques
			h	m	s		A _N	A _E		
N ^o 30 — 9 Mars										
Mostar	Id	P̄	13	31	44				35	v. Macroséisme N ^o 184
			S̄	13	31	49				
			M ₁	13	31	52				
			M ₂	13	31	58				
			M ₃	13	32	04				
			M ₁	13	32	08				
		F	13	32	40					
N ^o 31 — 9 Mars										
Mostar	Id	P̄	14	33	32					v. Macroséisme N ^o 186
			S̄	14	33	38				
			M ₁	14	33	42		8		
			M ₂	14	33	52		4		
			M ₃	14	34	08		3		
			M ₁	14	34	26		1		
		F	14	35	50					
N ^o 32 — 9 Mars										
Mostar	Id	P̄	20	35	49				150	
			S̄	20	36	08				
			M	20	36	16		2		
			F	20	37					
N ^o 33 — 10 Mars										
Mostar	Id	P̄	15	02	32				40	
			S̄	15	02	38				
			M	15	02	45		3		
			F	15	03	30				
N ^o 34 — 12 Mars										
Mostar		M	18	41	49					
N ^o 35 — 13 Mars										
Mostar		M	109	03	40					
N ^o 36 — 14 Mars										
Mostar	Id	P̄	21	59	35				70	
			S̄	21	59	44				
			M	21	59	50		6		
			F	22	00	20				

Station	Caractère	Phase	Heure t. m. Gr.			Période sec.	Amplitude (microns)		Distance km	Remarques	
			h	m	s		A _N	A _E			
N^o 37 — 21 Mars											
Beograd	II d	ePN	04	22	20,7	00,8			245	WNW. Ressenti à Bosanski Brod. Compasante EW traces illisibles. v. Macro-séisme N ^o 212.	
		eSN	04	22	51,2	01,5	2				
		M ₁ N	04	23	04,1	01,5	6				
		M ₂ N	04	23	24,3	01,5	8				
		FN	04	25,5							
N^o 38 — 21 Mars											
Beograd	I d	ePN	15	18	10,0	02,3	2		300	WNW. Compasante EW traces illisibles.	
		iSN	15	18	48,0	02,8	2				
		M ₁ N	15	19	00,6	03,2	2				
		M ₂ N	15	19	34,0	04,2	3				
		M ₃ N	15	20	35,9	04,0	3				
		FN	15	25,5							
N^o 39 — 21 Mars											
Beograd	O	M ₁ N	15	28	34,4	04,4	7			Traces mal définies	
		M ₂ N	15	29	36,8	05,6	4				
		FN	15	37							
N^o 40 — 24 Mars											
Beograd	I v	ePN	14	49	16,8	03,6	2			Ressenti en Crète	
		eP	14	49	20,2	01,8					
		iN	14	49	41,2	03,7	5				
		iE	14	49	42,7	01,7		3			
		iE	14	50	15,6	01,9		4			
		iN(S?)	14	51	10,5	03,9	5				
		iN	14	52	11,8	03,9	4				
		iN	14	53	06,7	05,0	4				
		eE	14	53	08,4	02,7		2			
		iN	14	53	54,6	04,5	7				
		iE	14	54	40,8	04,5	7				
		iN	14	55	50,7	04,5	9				
		iN	14	57	13,3	04,5	7				
		eLN	14	58	02,5	07,1	3				
		LN	14	58	57,0	05,6	6				
		LN	15	01	42,5	05,6	3				
Ljubljana		eP	14	50	58						
		e	14	52	50						
		(S)	14	54	14						

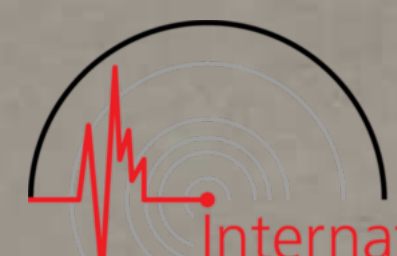
Station	Caractère	Phase	Heure t. m. Gr.			Période sec.	Amplitude (microns)		Distance km	Remarques
			h	m	s		A _N	A _E		
Ljubljana		M	14	56	47	07,0	5			
		C	15	02	40					
		F	15	06						
N^o 41 — 29 Mars										
Beograd	I d	ePE	22	36	32,2				100	
		eE	22	36	35,2	01,8	2			
		ePN	22	36	36,7	03,7	4			
		iSE	22	36	45,5	02,2	4			
		eSN	22	36	48,7		3			
		iE	22	36	59,9	02,2				
		MN	22	37	00,4	04,2				
F	22	44								
N^o 42 — 29 Mars										
Beograd	I d	ePE	23	10	48,0				110	
		ePN	23	10	54,5	03,0	4			
		iSE	23	11	02,1	01,9	4			
		iE	23	11	10,7	02,0	6			
		eN	23	11	15,3	04,2	5			
		ME	23	11	17,1	02,0	12			
		eN	23	11	24,6	04,2	8			
		iN	23	12	05,3	03,6	5			
		F	23	16						
N^o 43 — 29 Mars										
Beograd	I d	(PE)	23	18	34,3				(180)	v. Macro-séisme N ^o 215
		eN	23	18	40,6	02,7	2			
		eSE	23	18	57,7	02,7	3			
		ME	23	19	10,1	02,1	5			
		eN	23	19	20,2					
		F	23	25						
Avril 1927.										
N^o 44 — 1 Avril										
Mostar	I d	P	17	18	20				70	
		S	17	18	29					
		M ₁	17	18	37		2			
		M	17	18	45					
		M ₂	17	18	48		1			
F	17	19,1								

Station	Caractère	Phase	Heure t. m. Gr.			Période sec.	Amplitude (microns)		Distance km	Remarques
			h	m	s		A _N	A _E		
N^o 56 — 7 Avril										
Mostar	Id	\bar{P}	06	55	05				35	
		\bar{S}	06	55	10					
		M ₁	06	55	16					
		M	06	55	28		3			
		M ₂	06	55	32					
		F	06	57	57					
N^o 57 — 10 Avril										
Mostar	Od	(\bar{P})	14	43	17				(5-10)	v. Macro-séisme N ^o 224
		\bar{S}	14	43	20					
		M ₁	14	43	26		96			
		M ₂	14	43	42		23			
		M ₃	14	46	58		2			
N^o 58 — 10 Avril										
Mostar		i	15	28	17					
		i	15	28	29					
N^o 59 — 10 Avril										
Mostar		\bar{P}	16	28	38				20	
		\bar{S}	16	28	42					
		M ₁	16	28	44		4			
		M ₂	16	28	54		3			
		M ₃	16	29	10		0.5			
		F	16	30						
N^o 60 — 10 Avril										
Mostar		e(P)	20	53	13					
		M	20	58	17		3			
N^o 61 — 10 Avril										
Mostar	Od	\bar{P}	21	57	18				45	
		\bar{S}	21	57	24					
		M ₁	21	57	30		4			
		M ₂	21	57	42		2			
		F	21	58	20					
N^o 62 — 13 Avril										
Beograd	I u	ePN	13	56	38,2	03,0			9090	
		ePE	13	56	38,9	01,6				
		eE	13	57	11,7	01,9				

Station	Caractère	Phase	Heure t. m. Gr.			Période sec.	Amplitude (microns)		Distance km	Remarques
			h	m	s		A _N	A _E		
N^o 63 — 14 Avril										
Beograd	II u	eE	13	57	30,9	01,9			10,040	Chile, Argentina
		eN	13	57	31,8	03,4				
		eN	13	58	35,1	03,6				
		(S)E	14	06	44,1					
		S _N	14	06	53,9	06,0				
		eLN	14	33	21,1	21,0				
		ePE	06	39	15,6					
		ePN	06	39	16,1		4			
		eN	06	42	08,6	03,1				
		eE	06	42	08,7	02,1				
eN	06	42	36,9	03,1						
eN	06	42	57,6	03,1						
iE	06	43	17,0	03,3		3				
iN	06	43	17,5	03,6						
iN	06	43	23,6	03,6		6				
iE	06	43	50,0	02,4		4				
iN	06	43	58,6	03,6		4				
iE	06	44	15,2	02,4		4				
eE	06	44	16,7	03,6		4				
eE	06	44	35,1	02,4		3				
eE	06	45	27,2	02,4		2				
eN	06	45	45,4	03,5		2				
eE	06	47	32,8	02,4						
eSE	06	53	08,7							
eSN	06	53	09,5	06,6		5				
eLN	07	02	06,7	18,0						
LN	07	06	42,1	14,3						
LN	07	11	21,0	11,5						
LN	07	21	22,3	11,5						
F	07	30								
Ljubljana		e	06	42	24					
		e	06	44	44					
		e	06	48	28					
		eS	06	52	31					
		e	06	57	43					
		e	07	01	09					
		eL	07	15	59					
		M	07	29	24					
F	08	06								

SÉISMOGRAMMES

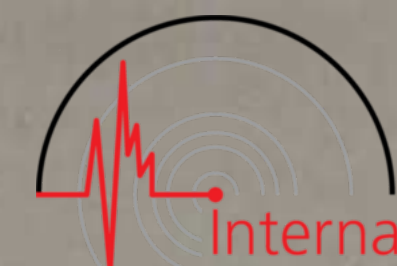
Station	Caractère	Phase	Heure t. m. Gr.			Période sec.	Amplitude (microns)		Distance km	Remarques
			h	m	s		A _N	A _E		
N^o 64 — 14 Avril										
Mostar	Od	P	14	53	32				20	
		S	14	53	36					
		M ₁	14	53	38		5			
		M ₂	14	53	48		2			
		M ₃	14	54	00		0,5			
N^o 65 — 16 Avril										
Beograd	Ou	ePN	08	27	17,4	03,7			2	(10,710) Dans la phase L se présente le commencement du séisme suivant
		e(P)E	08	27	22,9	01,9				
		eN	08	28	47,0	03,8	2			
		eE	08	30	34,4	03,9				
		e(S)E	08	38	33,6					
		eSN	08	38	46,9	05,3	4			
		eLN	09	02	11,9	14,3				
		LE	09	05	40,8	17,0				
		L(M)N	09	11	33,4	16,1				
		LN	09	14	19,5	13,8				
Ljubljana		eL	09	03	38					
		M	09	10	04					
N^o 66 — 16 Avril										
Beograd	Iu	ePN	09	23	59,8	02,6			2	9050
		ePE	09	24	02,6	02,2				
		eN	09	25	45,5	03,9	2			
		SN	09	34	13,0	05,0	5			
N^o 67 — 19 Avril										
Beograd	Iu	ePE	17	42	33,8	02,2			3	9100 Ressenti dans les îles de Luçon et de Formose
		ePN	17	42	35,9	03,4				
		eN	17	44	27,3	03,6	2			
		eSN	17	52	52,8	05,5				
		eSE	17	52	57,3	(02,4)				
		eN	17	54	01,6	06,2				
		eN	18	09	40,8	04,4				
		eLN	18	17	17,9	25,0				
		LN	18	19	14,0	23,0				
		LN	18	24	26,2	15,0				
		F	18	43						



SÉISMOGRAMMES

Station	Caractère	Phase	Heure t. m. Gr.			Période sec.	Amplitude (microns)		Distance km	Remarques
			h	m	s		A _N	A _E		
Ljubljana		e(P)	17	42	44					
		iS	17	52	34					
		eL	18	18	44					
		M	18	23	41					
		F	18	36						
N^o 68 — 20 Avril										
Mostar		e	13	46	45					
		M	13	49	33					
N^o 69 — 20 Avril										
Mostar		P	19	01	33				5	v. Macroséisme N ^o 227
		S	19	01	36					
		M ₁	19	01	38		7			
		M ₂	19	01	48		4			
		F	19	02						
N^o 70 — 22 Avril										
Beograd	IId	ePE	00	18	58,1	03,1			2	180 Ressenti, à Brod s/S v. Macroséisme N ^o 228
		ePN	00	18	58,7	00,2				
		iSN	00	19	20,5	00,4				
		MN	00	19	22,0	00,4	3			
		MN	00	19	23,2	00,4	4			
		ME	00	19	23,8					
		ME	00	19	25,3					
		ME	00	19	26,0					
		MN	00	19	26,8	00,4	4			
		ME	00	19	31,0	00,4		2		
		MN	00	19	31,8	00,4	2			
		iN	00	19	34,3	00,4	2			
		CE	00	19	41,0					
		CN	00	19	42,9					
		FN	00	20	44,0					
FE	00	23								
N^o 71 — 23 Avril										
Mostar		P	17	42	57				30-35	v. Macroséisme N ^o 232
		S	17	43	02					
		M	17	43	12		2			
		F	17	43	30					

Station	Caractère	Phase	Heure t. m. Gr.			Période sec.	Amplitude (microns)		Distance km	Remarques
			h	m	s		A _N	A _E		
N^o 72 — 24 Avril										
Mostar		P	20	45	46			3	30-35	v. Macroséisme N ^o 233
		S	20	45	51					
		M ₁	20	45	56					
		M ₂	20	46	02					
		F	20	46	10					
N^o 73 — 24 Avril										
Mostar	II d	P	18	26	18			8	26	Ressenti à Ljubljana v. Macroséisme N ^o 235
		e	18	26	21					
		S	18	26	25					
		M	18	26	36					
		F	18	28						
Beograd		ePE	18	26	49,9			01,5	250	
		ePN	18	26	51,2					
		eN	18	26	56,3					
		ee	18	26	59,7					
		eE	18	27	02,2					
		ee	18	27	02,5					
		SN	18	27	17,4					
		SE	18	27	21,0					
		iN	18	27	22,7					
		ME	18	27	26,3					
		FN	18	28						
		FE	18	29						
N^o 74 — 27 Avril										
Beograd	O v	ePE	03	10	53,6	01,5	2	250		
		eN	03	10	35,8	03,2				
		ee	03	11	08,6	01,5				
		eE	03	11	20,2	01,5				
		eN	03	11	30,4					
		e(S)E	03	11	25,5	01,5				
		ee	03	12	00,0	01,5				
N^o 75 — 27 Avril										
Ljubljana		e	19	32	48					
		L	20	12						
		M	20	14						
		F	20,4							



Station	Caractère	Phase	Heure t. m. Gr.			Période sec.	Amplit. dē (microns)		Distance km	Remarques
			h	m	s		A _N	A _E		
N^o 76 — 28 Avril										
Mostar		P	07	34	32			3	45	
		S	07	34	42					
		M ₁	07	34	46					
		M ₂	07	34	52					
		M ₃	07	34	58					
		F	07	35	20					
N^o 77 — 30 Avril										
Beograd		eN	14	13	12,4	03,1				Composante E W traces illisibles
		eN	14	15	21,2	03,9				
		eS?N	14	20	13,0	06,2				
		eN	14	22	13,7	04,8				
		eLN	14	23	14,2	15,1				
		LN	14	24	09,4	15,6				
		LN	14	31	03,8	07,8				
Ljubljana		e	14	12	00					
		e	14	13	08					
		e	14	19	46					
		M	14	26						
		F	14,8							
M a i 1927.										
N^o 78 — 9 Mai										
Beograd		iP _E	04	55	39,5	00,3		2	90 S	v. Macroséisme N ^o 241
		iP _N	04	55	39,6	00,3				
		iS _N	04	55	51,1	00,6				
		iS _E	04	55	51,7	00,6				
		M _{1E}	04	55	53,9	00,6				
		M _{1N}	04	55	55,1	00,6	13			
		M _{2N}	04	55	56,4	00,6	11			
		M _{2E}	04	55	57,3	00,6				
		M _{3N}	04	55	58,3	00,6	8			
		iN	04	56	01,6	00,6	5			
		iN	04	56	07,5	00,6	4			
		CN	04	56	14,9					
		CE	04	56	19,4					
		F	04	57						

Station	Caractère	Phase	Heure t. m. Gr.			Période sec.	Amplitude (microns)		Distance km	Remarques
			h	m	s		A _N	A _E		
Sarajevo		P S M F	04	55	55				136	
			04	56	11					
			04	56	13					
			04	57,4						
N ^o 79 — 9 Mai										
Beograd	ePE ePN eE eE eE eN eE eSE eSN eN eN eLN LN LE LN LN F	Ir	10	38	30,7	01,6			3470	Perse, Afghanistan
			10	38	32,5	01,6				
			10	38	55,0	01,6				
			10	39	10,6	01,6				
			10	40	00,4	01,9				
			10	40	20,7	02,0				
			10	40	58,3	01,9				
			10	43	45,9	03,0				
			10	43	46,6	03,9				
			10	46	16,7	03,9				
			10	48	12,8	04,2				
			10	51	29,8	15,6				
			10	54	51,9	13,3				
			10	56	04,6	12,7				
			10	57	14,4	06,9				
11	05	28,2	11,0							
11	30									
N ^o 80 — 10 Mai										
Beograd	ePE iSE M ₁ E eE eE eE FE	Od	07	17	02,0	01,0			185	Composante NS traces illisibles
			07	17	25,5	02,6				
			07	17	33,6	01,6				
			07	18	06,8	01,9				
			07	18	30,7	02,0				
			07	18	48,5	02,0				
			07	21	30					
N ^o 81 — 10 Mai										
Mostar	P S M ₁ M ₂ F	Id	18	52	15				70	v. Macroséisme N ^o 246
			18	52	24					
			18	52	29					
			18	52	42	45				
			18	54	45	8				

Station	Caractère	Phase	Heure t. m. Gr.			Période sec.	Amplitude (microns)		Distance km	Remarques
			h	m	s		A _N	A _E		
Beograd	Id	iPE iPN iSE iSN iN ME MN CN CE F	18	52	35,1	00,5		4	195	
			18	52	35,2	00,6	2			
			18	52	58,1	01,5		6		
			18	53	01,2	01,2	4			
			18	53	07,5	01,2	5			
			18	53	14,2	02,0		12		
			18	53	27,2	01,8	13			
			18	53	46,8					
18	53	51,8								
18	57									
N ^o 82 — 10 Mai										
Mostar	Id	P S M F	20	04	06				45	v. Macroséisme N ^o 248
			20	04	12					
			20	04	18		25			
			20	05						
N ^o 83 — 11 Mai										
Sarajevo	Id	iP iS M F	23	25	59				50	
			23	26	05					
			23	26	08	01,0	67			
			23	28,3						
N ^o 84 — 12 Mai										
Sarajevo		P S M F	04	45	18					
			04	45	20					
			04	45	22		6			
			04	45	47					
N ^o 85 — 12 Mai										
Mostar	Od	P S M ₁ M ₂ M ₃ F	14	19	44				70	
			14	19	53					
			14	19	56		11			
			14	20	05		4			
			14	20	20		3			
			14	20	40					
N ^o 86 — 12 Mai										
Mostar	Od	P S M F	14	24	30				70	
			14	24	39					
			14	24	42		4			
			14	25	10					

Station	Caractère	Phase	Heure t. m. Gr.			Période sec.	Amplitude (microns)		Distance km	Remarques
			h	m	s		A _N	A _E		
N^o 87 — 12 Mai										
Mostar		e	14	28	47					
N^o 88 — 12 Mai										
Mostar	d	\bar{P}	14	50	07					v. Macroséisme N ^o 226
		\bar{S}	14	50	14					
		M ₁	14	50	18		01,5			
		M ₂	14	50	22		01,5			
		M ₃	14	50	32		00,5			
		F	14	51						
N^o 89 — 12 Mai										
Mostar	d	\bar{P}	20	24	12				55	v. Macroséisme N ^o 258
		\bar{S}	20	24	20					
		M ₁	20	24	25		4			
		M ₂	20	24	29		3			
		M ₃	20	24	37		1			
		F	20	25						
N^o 90 — 13 Mai										
Mostar	Od	\bar{P}	08	39	16				45	
		\bar{S}	08	39	22					
		M ₁	08	39	26		3			
		M ₂	08	39	36		1			
		F	08	40						
N^o 91 — 13 Mai										
Mostar	Od	\bar{P}	21	00	29				50	
		\bar{S}	21	00	36					
		M	21	00	40		4			
N^o 92 — 15 Mai										
Beograd	d	i \bar{P}_E	02	47	29,5	01,0		108	78	SSW ruineux à Rudnik. Fort à Beograd Plume de la composante NS restée hors du papier ZAGREB: iP 02h 48m 13.2s $\Delta = 390$, km ESE v. Macroséisme N ^o 267
		i \bar{S}_E	02	47	39,7	01,7		176		
		ME	02	47	40,7	01,7		314		
		ME	02	47	56,6	01,7		272		
		ME	02	48	06,4	01,7		424		
		ME	02	49	01,9	01,7		341		
		ME	02	49	07,7	01,7		424		
		ME	02	49	25,8	01,7		408		
		ME	02	49	41,1	01,7		400		
		ME	02	49	56,4	01,7		408		

Station	Caractère	Phase	Heure t. m. Gr.			Période sec.	Amplitude (microns)		Distance km	Remarques
			h	m	s		A _N	A _E		
Beograd		ME	02	50	34,3	01,7		440		
		ME	02	50	58,1	01,7		424		
		ME	02	51	29,8	01,7		256		
		ME	02	51	46,0	01,7		200		
		ME	02	51	55,7	01,7		350		
		ME	02	52	05,8	01,7		230		
		iE	02	52	18,0	01,7		68		
		iE	02	52	32,9	01,7		140		
		iE	02	52	53,9	01,7		144		
		iE	02	53	04,1	01,7		100		
		iE	02	53	19,7	01,7		106		
		iE	02	53	18,0	01,7		35		
		iE	02	53	23,8	01,7		18		
		iE	02	53	30,4	01,7		22		
		iE	02	53	43,7	01,7		20		
		iE	02	53	59,4	01,7		26		
		iE	02	54	09,3	01,7		24		
		iE	02	54	15,6	01,7		20		
		iE	02	54	23,0	01,7		14		
		iE	02	54	41,2	01,7		12		
	CE	02	56	15,6	01,7		12			
<i>Durant la phase finale s'élève la secousse suivante</i>										
Sarajevo		i \bar{P}	(02	47	45)					
		i	02	47	47					
		i	02	47	50					
		M	02	48	09			< 8		
Mostar		\bar{P}	(02	47	55)			220		
		i	02	48	01					
		\bar{S}	02	48	23					
		M ₁	02	48	54		54			
	M ₂	02	49	31		64				
Ljubljana		iP	(02	48	34)					
		i	02	48	56					
		i	02	49	31					
		iS	02	49	45					
		M	02	50	13	03,0	210			
		F	03	06						

Station	Caractère	Phase	Heure t. m. Gr.			Période sec.	Amplitude (microns)		Distance km	Remarques
			h	m	s		A _N	A _E		
<i>Durant la phase finale s'élève la secousse suivante</i>										
Sarajevo		iP̄	03	12	28)	01,0	21			
		i	03	12	30					
		i	03	12	38					
		i	03	12	42					
		i(S?)	03	12	58					
		M	03	13	10					
		i	03	14	03					
		i	03	14	20					
		i	03	14	30					
		i	03	14	45					
		i	03	14	54					
		i	03	16	int.					
Mostar		P̄	03	12	43)			210		
		i	03	12	49					
		S̄	03	13	09					
		M	03	13	19					
		F	03	22						
Ljubljana		e	03	13	12	04,0	25			
		e	03	13	29					
		eS	03	14	17					
		M	03	14	28					
		F	03	24						

Fremissement continu

N^o 101 — 15 Mai

Station	Caractère	Phase	Heure t. m. Gr.	Période sec.	Amplitude (microns)	Distance km	Remarques
Beograd	I d	iP̄ _E	03 18 31,7		17		S v. Macroséisme N ^o 282
		iS̄ _E	03 18 35,1				
		ME	03 18 36,3				
		CE	03 18 38,1				

N^o 102 — 15 Mai

Station	Caractère	Phase	Heure t. m. Gr.	Période sec.	Amplitude (microns)	Distance km	Remarques
Beograd	II d	iP̄ _N	03 19 33,1	00,3	4	80	SSW SARAJEVO: P (03 h 20 m 04 s) v. Macroséisme N ^o 283
		iS̄ _N	03 19 44,6	00,6	5		
		iS̄ _E	03 19 44,8	00,7	3		
		MN	03 19 47,3	00,6	71		
		ME	03 19 47,6	00,7	8		

Station	Caractère	Phase	Heure t. m. Gr.			Période sec.	Amplitude (microns)		Distance km	Remarques	
			h	m	s		A _N	A _E			
Beograd		MN	03	19	50,4	00,6	60				
		ME	03	19	55,3	00,7	6				
		MN	03	19	55,4	00,6	37				
		ME	03	19	57,0	00,7	34				
		ME	03	19	58,7	00,7	42				
		ME	03	20	00,4	00,7	26				
		CE	03	20	24,0						
		FE	03	24							
<i>N^o 103 — 15 Mai</i>											
Beograd	O d	e	03	24	43					Frémissement du soi. v. Macroséisme N ^o 286	
		F	03	24	52						
<i>N^o 104 — 15 Mai</i>											
Beograd	I d	iP̄ _E	03	25	06,9	00,7	45	v. Macroséisme N ^o 287			
		iP̄ _N	03	25	07,7						
		iE	03	25	13,0	01,0					
		iS̄ _E	03	25	13,9	01,0					24
		iS̄ _N	03	25	14,1	01,0					14
		ME	03	25	18,1	01,0					35
		MN	03	25	18,5	01,0					66
		ME	03	25	20,6	01,0					30
		CN	03	25	28,0						
		CE	03	25	43,0						
FN	03	26									
<i>N^o 105 — 15 Mai</i>											
Beograd	I d	iP̄ _E	03	26	36,0		15	v. Macroséisme N ^o 288			
		iS̄ _E	03	26	38,7						
		iE	03	26	39,4						4
		ME	03	26	40,6						6
		CE	03	26	41,6						
		FE	03	28							
<i>N^o 106 — 15 Mai</i>											
Beograd	I d	iP̄ _E	03	26	56,4		17	S v. Macroséisme N ^o 289			
		iS̄ _E	03	26	59,8						
		ME	03	27	01,7						4
		CE	03	27	06,0						

Station	Caractère	Phase	Heure t. m. Gr.			Période sec.	Amplitude (microns)		Distance km	Remarques
			h	m	s		A _N	A _E		
<i>N_e 107 — 15 Mai</i>										
Beograd		e F	03	27	15					Frémissement du sol. v. Macroséisme N ^o 290
			03	27	22					
<i>N_e 108 — 15 Mai</i>										
Beograd		i d i P _E i E i N i S _E i S _N M _N M _E M _N M _E M _N C _E C _N F _N F _E	03	29	07,5		2 6 3 16 6 10 28 13 16 12	95		v. Macroséisme N ^o 291
			03	29	10,5					
			03	29	14,6					
			03	29	19,8					
			03	29	20,1					
			03	29	21,1					
			03	29	22,3					
			03	29	24,2					
			03	29	24,3					
			03	29	27,3					
			03	29	27,9					
			03	29	29,8					
			03	29	49,9					
03	29	57,0								
<i>N_e 109 — 15 Mai</i>										
Beograd		i d i P _E i E i S _E M _E M _E C _E	03	42	56,1		2 2 8 24 14	65		v. Macroséisme N ^o 293
			03	42	57,8					
			03	43	05,0					
			03	43	06,7					
			03	43	08,7					
			03	43	12,8					
<i>N_e 110 — 15 Mai</i>										
Beograd		e F	03	43	30,0					Frémissement du sol.
			03	43	58,0					
<i>N_e 111 — 15 Mai</i>										
Beograd		e F	03	44	29,0					Frémissement du sol.
			03	44	32,0					
<i>N_e 112 — 15 Mai</i>										
Beograd		i d i P _N i S _N M _N C _N F _N	05	32	31,2		6	15		S v. Macroséisme N ^o 318
			05	32	33,7					
			05	32	35,4					
			05	32	37,6					
			05	32	40					

Station	Caractère	Phase	Heure t. m. Gr.			Période sec.	Amplitude (microns)		Distance km	Remarques
			h	m	s		A _N	A _E		
<i>N_e 113 — 15 Mai</i>										
Beograd		i d i P _E i S _N M _N F _N	05	34	06,0	00,5	6	15		S v. Macroséisme N ^o 319
			05	34	08,6					
			05	34	11,3					
			05	34	18,0					
<i>N_e 114 — 15 Mai</i>										
Beograd		i d i P _N i N i S _N M _N C _N F _N	05	49	00,6	00,3 00,4 00,4 00,4	6 8 10 77	52		S v. Macroséisme N ^o 323
			05	49	05,7					
			05	49	07,8					
			05	49	12,1					
			05	49	37,3					
			05	50,5						
<i>N_e 115 — 15 Mai</i>										
Beograd		i d i P _N i (S) _N M _N C _N F _N	06	01	49,5		6	(10)		S v. Macroséisme N ^o 326
			06	01	50,5					
			06	01	51,5					
			06	01	52,8					
			06	02	02,1					
<i>N_e 116 — 15 Mai</i>										
Beograd		i d i P _N i S _N M _N C _N F _N	06	17	02,1	00,4	8	45		S v. Macroséisme N ^o 329
			06	17	08,3					
			06	17	09,0					
			06	17	13,2					
			06	17	18					
<i>N_e 117 — 15 Mai</i>										
Beograd		i d i (P) _N i S _N M _N M _N M _N C _N F _N	07	09	00,4	00,5 00,5 00,5 00,5	3 7 15 12 7	(15)		S v. Macroséisme N ^o 336
			07	09	09,2					
			07	09	04,2					
			07	09	09,2					
			07	09	12,0					
			07	09	15,0					
<i>N_e 118 — 15 Mai</i>										
Beograd		i d i P _N i S _N M _N	07	18	50,5	00,4 00,6 00,6	2 3 10	88		S v. Macroséisme N ^o 338
			07	19	02,0					
			07	19	03,0					

Station	Caractère	Phase	Heure t. m. Gr.			Période sec.	Amplitude (microns)		Distance km	Remarques
			h	m	s		A _N	A _E		
Beograd		MN	07	19	08,1	00,6	14			
		CN	07	19	11,0					
		FN	07	19	27					
<i>N^o 119 — 15 Mai</i>										
Beograd	I d	iP _E	07	54	11,6	00,2		2	15	S v. Macroséisme N ^o 342
		iS _E	07	54	13,5					
		ME	07	54	16,6					
		CE	07	54	19,1					
		FE	07	54	24					
<i>N^o 120 — 15 Mai</i>										
Beograd	I d	iP _E	08	26	55,3	00,2		2	(10)	Après la fin du séismogramme vibration aux ondes à courtes période v. Macroséisme N ^o 346
		iS _E	08	26	55,8					
		ME	08	26	57,6					
		FE	08	27	03					
<i>N^o 121 — 15 Mai</i>										
Beograd	I d	iP _N	08	28	49,0	00,3	2	6	83	v. Macroséisme N ^o 347
		iP _E	08	28	50,6					
		iS _N	08	28	59,9					
		iS _E	08	28	59,9					
		ME	08	29	02,3					
		MN	08	29	02,6					
		ME	08	29	03,1					
		MN	08	29	03,4					
		ME	08	29	04,8					
		MN	08	29	07,3					
CN	08	29	09,8							
FN	08	29	46							
<i>N^o 122 — 15 Mai</i>										
Beograd	I d	e(P _E)	08	44	33,6	00,3		3	(25)	S v. Macroséisme N ^o 351
		e(S _E)	08	44	37,7					
		ME	08	44	38,4					
		CE	08	44	40,9					
		FE	08	44	49					

Station	Caractère	Phase	Heure t. m. Gr.			Période sec.	Amplitude (microns)		Distance km	Remarques
			h	m	s		A _N	A _E		
<i>N^o 123 — 15 Mai</i>										
Beograd	I d	e(P _E)	9	34	53,3	0,2		10	(130)	S v. Macroséisme N ^o 359
		iS _E	9	35	09,9					
		ME	9	35	11,6					
		ME	9	35	20,0					
		FE	9	35	45					
<i>N^o 124 — 15 Mai</i>										
Beograd	I d	iP _E	9	40	53,2	0,3		2	67	S v. Macroséisme N ^o 360
		iE	9	40	58,3					
		iS _E	9	41	02,0					
		CE	9	41	23					
		FE	9	41	49					
<i>N^o 125 — 15 Mai</i>										
Beograd	I d	e(P _E)	9	43	07,5	0,3		4	(10)	v. Macroséisme N ^o 361
		iS _E	9	43	10,0					
		ME	9	43	11,0					
		ME	9	43	12,0					
		CE	9	43	15					
		FE	9	43	16					
<i>N^o 126 — 15 Mai</i>										
Beograd		iME	9	45	19,9	0,3		2		v. Macroséisme N ^o 362
		FE	9	45	25					
<i>N^o 127 — 15 Mai</i>										
Beograd		c	9	47	34,5	0,3				Vibrations à courtes périodes.
		F	9	47	43,7					
<i>N^o 128 — 15 Mai</i>										
Beograd		eP _E	9	52	51,5	0,2		4	10	S v. Macroséisme N ^o 363
		eP _N	9	52	53,5					
		iS _E	9	52	54,0					
		S _N	9	52	53,8					
		ME	9	52	54,8					
		ME	9	52	56,3					
		CE	9	52	59,7					
		FE	9	53	12					

Station	Caractère	Phase	Heure t. m. Gr.			Période sec.	Amplitude (microns)		Distance km	Remarques
			h	m	s		A _N	A _E		
<i>N^o 129 — 15 Mai</i>										
Beograd	I d	eP _E	9	55	48,8	0,2			10	v. Macro-séisme N ^o 365
		iS _E	9	55	50,5	0,2		2		
		ME	9	55	51,3	0,2		4		
		ME	9	55	52,1			4		
		CE	9	55	54					
		FE	9	55	56					
<i>N^o 130 — 15 Mai</i>										
Beograd		e	10	30	50,8					Vibration, depuis passe en séisme suivant v. Macro-séisme N ^o 372
<i>N^o 131 — 15 Mai</i>										
Beograd	d	iP _E	10	36	58,6	0,3		4	20 S	v. Macro-séisme N ^o 373
		iS _E	10	37	01,1	0,3		6		
		ME	10	37	02,8	0,3		12		
		CE	10	37	04					
		FE	10	37	25					
<i>N^o 132 — 15 Mai</i>										
Beograd		eE	11	32	15,1					Vibrations v. Macro-séisme N ^o 381
		FE	11	32	34,6					
<i>N^o 133 — 15 Mai</i>										
Beograd	d	eP _E	11	33	41,3	0,3			50	S v. Macro-séisme N ^o 382
		eS _E	11	33	48,3	0,3				
		ME	11	33	51,0	0,3		4		
		ME	11	33	54,3	0,3		4		
		CE	11	33	55					
		FE	11	34	02					
<i>N^o 134 — 15 Mai</i>										
Beograd		eE	11	44	02,2					Vibrations v. Macro-séisme N ^o 383
		FE	11	44	21,0					
<i>N^o 135 — 15 Mai</i>										
Beograd		eE	11	45	15,9					Vibrations v. Macro-séisme N ^o 384
		FE	11	46	09,2					



Station	Caractère	Phase	Heure t. m. Gr.			Période sec.	Amplitude (microns)		Distance km	Remarques
			h	m	s		A _N	A _E		
<i>N^o 135 — 15 Mai</i>										
Beograd		eE	11	52	41,3					Vibrations v. Macro-séisme N ^o 385
		FE	11	53	02,2					
<i>N^o 137 — 15 Mai</i>										
Beograd		eE	11	55	31,6					Vibrations v. Macro-séisme N ^o 386
		FE	11	55	36,5					
<i>N^o 138 — 15 Mai</i>										
Beograd	I d	eP _E	11	56	36,9	0,3		2	15	v. Macro-séisme N ^o 387
		eS _E	11	56	40,2	0,3		2		
		FE	11	56	47					
<i>N^o 139 — 15 Mai</i>										
Beograd		eE	11	58	42,6					Vibrations v. Macro-séisme N ^o 388
		FE	11	58	45,9					
<i>N^o 140 — 15 Mai</i>										
Beograd		eP _E	12	05	43,0	0,3			50	v. Macro-séisme N ^o 389
		eS _E	12	05	47,6	0,3		2		
		ME	12	05	49,6	0,3		4		
		CE	12	05	53					
		FE	12	06						
<i>N^o 141 — 15 Mai</i>										
Beograd	d	eP _E	12	53	48,7	0,3			10	S v. Macro-séisme N ^o 397
		S _E	12	53	50,9	0,3		2		
		ME	12	53	52,2	0,3		4		
		CE	12	54	00,0					
		FE	12	54	05,0					
<i>N^o 142 — 15 Mai</i>										
Beograd		eE	13	40	54,6	0,3				Vibrations v. Macro-séisme N ^o 403
		FE	13	41	03,8					
<i>N^o 143 — 15 Mai</i>										
Beograd		eE	14	05	17,5	1,2			2	Vibrations v. Macro-séisme N ^o 407
		FE	14	05	26,5					

Station	Caractère	Phase	Heure t. m. Gr.			Période sec.	Amplitude (microns)		Distance km	Remarques
			h	m	s		A _N	A _E		
<i>N^o 144 — 15 Mai</i>										
Beograd	d	eP _E S _E M _E F _E	15	31	36,1	0,3		2	10	S v. Macro-séisme N ^o 417
			15	31	38,4					
			15	31	39,4					
			15	31	45,0					
<i>N^o 145 — 15 Mai</i>										
Beograd	d	eP _E eS _N M _N C _N F _N	16	25	18,2	0,3		2 16	68	S v. Macro-séisme N ^o 425
			16	25	27,3					
			16	25	30,6					
			16	25	33,1					
			16	25	05,0					
<i>N^o 146 — 15 Mai</i>										
Beograd	d	eP _E iS _E M _E F _E	16	27	18,3	0,2		8 18	58	S v. Macro-séisme N ^o 426
			16	27	26,2					
			16	27	29,2					
			16	28	11,7					
<i>N^o 147 — 15 Mai</i>										
Beograd	d	eP _E eP _N iS _N iS _E M _N M _E M _N M _E M _N M _N C _N F _N	16	55	46,6	0,3		6 12 15 18 10 16 10 12	56	S v. Macro-séisme N ^o 429
			16	55	47,8					
			16	55	53,6					
			16	55	54,2					
			16	55	55,8					
			16	55	57,8					
			16	55	58,4					
			16	55	59,7					
			16	55	59,8					
			16	56	01,8					
			16	56	05,0					
			16	56	30					
<i>N^o 148 — 15 Mai</i>										
Beograd	d	iP _E iS _E M _E M _E M _E C _E F _E	17	23	31,7	0,3		2 10 18 28 28	82	S v. Macro-séisme N ^o 434
			17	23	42,4					
			17	23	44,8					
			17	23	46,4					
			17	23	48,0					
			17	24	26,0					
17	25	06								

Station	Caractère	Phase	Heure t. m. Gr.			Période sec.	Amplitude (microns)		Distance km	Remarques
			h	m	s		A _N	A _E		
<i>N^o 149 — 15 Mai</i>										
Beograd		eE F _E	18	43	58,8	1,0				Vibrations v. Macro-séisme N ^o 442
			18	44	41,6					
<i>N^o 150 — 15 Mai</i>										
Beograd	I d	iP _E S _E F _E	18	46	19,5	0,3		4	25	S v. Macro-séisme N ^o 444
			18	46	23,8					
			18	46	44,0					
<i>N^o 151 — 15 Mai</i>										
Beograd		eE iE F _E	18	58	55,5	0,3		2 2		Vibrations v. Macro-séisme N ^o 446
			18	58	58,2					
			18	59	06,0					
<i>N^o 152 — 15 Mai</i>										
Beograd	I d	eP _E S _E M _E C _E F _E	20	04	58,2	0,3		6	10	S v. Macro-séisme N ^o 454
			20	05	00,5					
			20	05	02,7					
			20	05	06,0					
			20	05	30					
<i>N^o 153 — 15 Mai</i>										
Beograd	II d	iP _N iP _E iE iE iE iS _N iS _E M _N M _E M _N M _N iN M _N C _E F _E	21	31	48,5	0,3		2 2 4 2 4 4 6 6 10 22 8 8 6 8	87	S v. Macro-séisme N ^o 467
			21	31	49,1					
			21	31	50,7					
			21	31	53,6					
			21	31	58,9					
			21	31	59,0					
			21	32	00,5					
			21	32	01,8					
			21	32	02,9					
			21	32	03,2					
			21	32	04,0					
			21	32	07,3					
			21	32	09,8					
			21	32	10,3					
			21	33	07,0					
<i>N^o 154 — 15 Mai</i>										
Beograd	O d	iM _E F _E	23	19	01,1	0,2		6		v. Macro-séisme N ^o 476
			23	19	03,0					

Station	Caractère	Phase	Heure t. m. Gr.			Période sec.	Amplitude (microns)		Distance km	Remarques
			h	m	s		A _N	A _E		
<i>N^o 155 — 16 Mai</i>										
Beograd	d	P _N	5	03	39,6	0,2	6	43	S	v. Macro-séisme N ^o 482
		S _N	5	03	45,7					
		M _N	5	03	46,5					
		C _N	5	03	54,2					
		F _N	5	04	15					
<i>N^o 156 — 16 Mai</i>										
Beograd	I d	i P _E	5	30	39,4	0,3	2	91	S	v. Macro-séisme N ^o 485
		i E	5	30	49,8	0,3	2			
		i S _E	5	30	51,3	0,3	6			
		M _E	5	30	53,1	0,3	12			
		M _E	5	30	56,3	0,3	10			
		C _E	5	31	01,0					
		F _E	5	31	40,0					
<i>N^o 157 — 17 Mai</i>										
Beograd	II d	i P _E	17	38	31,4	0,2	43	78	v. Macro-séisme N ^o 526	
		i P _N	17	38	31,6	0,4	22			
		i N	17	38	33,1	0,4	32			
		i N	17	38	38,2	0,4	68			
		i E	17	38	38,5	0,2	37			
		i S _N	17	38	41,3	0,4	66			
		i S _E	17	38	41,7	0,2	170			
		M _N	17	38	43,1	0,4	144			
		M _N	17	38	44,5	0,4	191			
		M _N	17	38	49,6	0,4	172			
		C _E	17	39	05,0					
		F _E	17	42	14,0					
		Sarajevo		P	17	38	44			
i R _i P	17			38	46					
i	17			38	50					
i	17			39	00					
i S	17			39	04					
i	17			39	12					
M	17			40	14					
F	17	41,8		40						

Station	Caractère	Phase	Heure t. m. Gr.			Période sec.	Amplitude (microns)		Distance km	Remarques
			h	m	s		A _N	A _E		
<i>N^o 158 — 17 Mai</i>										
Beograd	I d	e P _N	18	03	43,5	0,3		90	S	v. Macro-séisme N ^o 532
		e P _E	18	03	59,9	0,2				
		i S _N	18	03	55,2	0,3	2			
		i S _E	18	03	57,8	0,2	10			
		M _N	18	03	57,9	0,3	6			
		M _E	18	03	58,6	0,2	12			
		M _E	18	04	02,0	0,2	12			
		M _N	18	04	03,6	0,3	4			
F _N	18	04	33,0							
<i>N^o 159 — 18 Mai</i>										
Beograd	I d	P _E	6	21	53,8	0,2	2	10	S	v. Macro-séisme N ^o 549
		P _N	6	21	54,0		2			
		S _E	6	21	55,7	0,2	2			
		S _N	6	21	57,2					
		F _N	6	22	00,1					
		<i>N^o 160 — 18 Mai</i>								
Beograd	I d	i P _E	6	22	02,2	0,2	4	10	S	v. Macro-séisme N ^o 550
		i P _N	6	22	02,8	0,3	3			
		i S _N	6	22	04,3	0,3	4			
		i S _E	6	22	04,9	0,2	10			
		M _E	6	22	06,7	0,2	22			
		M _N	6	22	06,7	0,3	6			
		M _N	6	22	08,7	0,3	8			
		M _N	6	22	11,1	0,3	9			
		F _N	6	22	54,0					
<i>N^o 161 — 18 Mai</i>										
Mostar	I d	P	9	48	52			60	v. Macro-séisme N ^o 557	
		S	9	49	00					
		M ₁	9	49	04		5			
		M ₂	9	49	12		4			
		F	9	50	10					
<i>N^o 162 — 18 Mai</i>										
Beograd	I d	e P _E	10	16	56,4	0,3		71	S	v. Macro-séisme N ^o 558
		i S _E	10	17	05,9	0,3	6			
		M _E	10	17	06,8	0,3	8			
		M _E	10	17	10,4	0,3	8			

Station	Caractère	Phase	Heure t. m. Gr.			Période sec.	Amplitude (microns)		Distance km	Remarques
			h	m	s		A _N	A _E		
Beograd		ME	10	17	12,3	0,3		6		
		ME	10	17	13,2	0,3		6		
		CE	10	17	15,0	0,3		6		
		FE	10	18						
<i>N^o 163 — 19 Mai</i>										
Beograd	I d	e \bar{P} E	3	44	17,5				67	S v. Macro-séisme N ^o 581
		i \bar{S} E	3	44	26,5	0,3	12			
		ME	3	44	28,6	0,3	24			
		CE	3	44	42,0					
		FE	3	45	20,0					
<i>N^o 164 — 19 Mai</i>										
Beograd		eE	9	49	21,6					Vibrations
		FE	9	49	29,9					
<i>N^o 165 — 19 Mai</i>										
Beograd		e \bar{P} N	9	49	31,2				10	S v. Macro-séisme N ^o 591
		i \bar{P} E	9	49	31,7	0,3	2			
		e \bar{S} N	9	49	32,5	0,3	2			
		e \bar{S} E	9	49	31,8	0,3		8		
		MN	9	49	32,8	0,3	4			
		MN	9	49	34,8	0,3	7			
		ME	9	49	36,4	0,3		14		
Beograd	I d	e \bar{P} N	22	30	44,4				93	S v. Macro-séisme N ^o 605
		e \bar{P} E	22	30	46,8					
		eE	22	30	38,4					
		i \bar{S} E	22	30	55,7	0,3	2			
		i \bar{S} N	22	30	56,3	0,3	5			
		ME	22	30	57,9	0,3		5		
		MN	22	30	58,1	0,3	4			
		MN	22	30	59,0	0,3	10			
		FN	22	31	03,0					
		<i>N^o 166 — 19 Mai</i>								
Mostar	Od	\bar{P}	11	13	27				60	
		\bar{S}	11	13	35					
		M	11	13	40					
		F	11	15			11			
<i>N^o 167 — 20 Mai</i>										

Station	Caractère	Phase	Heure t. m. Gr.			Période sec.	Amplitude (microns)		Distance km	Remarques
			h	m	s		A _N	A _E		
<i>N^o 168 — 20 Mai</i>										
Beograd	I d	e \bar{P} N	14	03	04,3				230	v. Macro-séisme N ^o 619
		e \bar{P} E	14	03	15,7	0,3				
		e \bar{S} N	14	03	29,5					
		\bar{S} E	14	03	35,4	0,9				
		MN	14	03	36,7	1,2	4			
		ME	14	03	54,2	1,5		4		
		MN	14	04	06,0	1,2	4			
Beograd	I d	e \bar{P} E	14	22	43,3				66	Dans le phase finale un nouveaux séisme. v. Macro-séisme N ^o 621
		i \bar{S} E	14	22	52,2	0,3		4		
		M	14	22	57,5	0,3		10		
<i>N^o 169 — 20 Mai</i>										
Beograd	I d	e \bar{P} E	14	23	04,3			4	10	v. Macro-séisme N ^o 622
		e \bar{S} E	14	23	06,9	0,3	4			
		ME	14	23	07,4	0,3		4		
		FE	14	23	26,0					
<i>N^o 170 — 20 Mai</i>										
Mostar	o d	\bar{P}	17	40	14				80	
		\bar{S}	17	40	24					
		M ₁	17	40	28			3		
		M ₂	17	40	32			4		
		M ₃	17	40	44					
<i>N^o 171 — 20 Mai</i>										
Beograd	I d	i \bar{P} E	18	29	05,4	0,3	2		10	S v. Macro-séisme N ^o 625
		i \bar{S} E	18	29	07,9	0,3	2			
		ME	18	29	08,6	0,3	3			
		ME	18	29	09,8	0,3	4			
		CE	18	29	13,1					
		FE	18	30	03,0					
		<i>N^o 172 — 20 Mai</i>								
Beograd	II u	e \bar{P} N	22	42	49,5				6870	Kan-sou (chine)
		e \bar{P} E	22	42	49,8					
		i \bar{P} N	22	43	05,2	3,7	16			
		i \bar{P} E	22	43	06,6	2,1		4		
<i>N^o 173 — 22 Mai</i>										

Station	Caractère	Phase	Heure t. m. Gr.			Période sec.	Amplitude (microns)		Distance km	Remarques
			h	m	s		A _N	A _E		
Beograd	eN		22	46	03,2	4,8	12			
	eE		22	46	04,5	2,2		3		
	iSN		22	51	10,4	6,1	12			
	iSE		22	51	11,9	4,7		4		
	LE		22	57	54,8	7,5		4		
	LN		22	57	57,8	5,4	16			
	ME		23	17	15,0	9,7		12		
	MN		23	22	15,8	11,2	8			
	MN		23	22	41,2	9,3	50			
	MN		23	24	05,0	7,2	84			
	ME		23	24	15,3	16,5		14		
	MN		23	25	08,6	10,8	120			
	MN		23	26	30,0	10,0				
	F		01	50						
Ljubljana	eP		22	43	12			7140		
	iS		22	51	48					
	eL		22	53	16					
	MN		22	56						
	ME		23	08						
	F		00	36						
Beograd	Ilv	ePN	N ^o 114 — 25 Mai						610	Italie v. Macro-séisme N ^o 670
		iSN	2	51	58,5	2,5				
		MN	2	53	14,0	4,0	4			
		iN	2	53	52,5	4,5	10			
		MN	2	54	15,5	4,0	10			
		iN	2	54	32,5	3,0	8			
FN	2	54	59,5	4,0	8					
Beograd	o	eN	N ^o 175 — 27 Mai						v. Macro-séisme N ^o 671	
		eE	7	17	29,2					
		FN	7	17	34,4	0,3				
		FE	7	17	38,2					
Beograd	ld	iPE	N ^o 176 — 27 Mai						S v. Macro-séisme N ^o 672	
		iSE	7	17	42,0	0,3	8	10		
		ME	7	17	44,2	0,3	14			
		CE	7	17	46,4	0,3	30			
		FE	7	18	01,7					
			7	19,5						

Station	Caractère	Phase	Heure t. m. Gr.			Période sec.	Amplitude (microns)		Distance km	Remarques
			h	m	s		A _N	A _E		
N ^o 177 — 27 Mai										
Beograd	ld	iPN	7	18	47,9	0,1	4	45	S	
		iSN	7	18	54,2	0,2	16			
		MN	7	18	56,0	0,2	26			
		CN	7	18	57,4					
		FN	7	20,2						
N ^o 178 — 27 Mai										
Beograd	ld	ePE	10	58	16,9			82	S Vibrations transfor- mées à séisme v. Macro-séisme N ^o 673	
		ePN	10	58	16,5					
		iE	10	58	24,0					
		iE	10	58	24,2	0,2				
		iN	10	58	24,7	0,3	4			
		iSE	10	58	26,7	0,4	12			
		iSE	10	58	27,3	0,5	10			
		ME	10	58	28,5	0,4	30			
		MN	10	58	29,0	0,5	24			
		MN	10	58	32,4	0,5	8			
FN	10	59,5								
N ^o 179 — 27 Mai										
Mostar	ld	P	21	52	09			5-10		
		S	21	52	13					
		M	21	52	14		34 36			
		F	21	53	30					
N ^o 180 — 29 Mai										
Beograd	ld	ePE	7	39	12,4	0,3		92	S v. Macro-séisme N ^o 691	
		iE	7	39	14,6	0,3	2			
		iE	7	39	22,2	0,3	2			
		iSE	7	39	24,4	0,3	6			
		ME	7	39	26,6	0,3	18			
		ME	7	39	28,8	0,3	14			
		ME	7	39	29,8	0,3	12			
		CE	7	39	35,8					
		FE	7	40,8						
N ^o 181 — 31 Mai										
Beograd	ld	iPE	22	58	31,2	0,1	6	80	S v. Macro-séisme N ^o 717	
		iPN	22	58	31,5	0,4	10			
		iSE	22	58	42,8	1,2	96			

Station	Caractère	Phase	Heure t. m. Gr.			Période sec.	Amplitude (microns)		Distance km	Remarques
			h	m	s		A _N	A _E		
Beograd		i \bar{S} N	22	58	42,8	0,4	30	284		
		MN	22	58	46,7	0,4	200			
		ME	22	58	48,1	1,8				
		MN	22	58	48,3	0,4	168			
		MN	22	58	51,1	0,4	184			
		MN	22	58	54,5	0,4	195			
		CN	22	59	11,5					
		CE	23	00	20,5					
		FN,E	23	05						

Juin 1927.

N^o 182 — 1 Juin

Station	Caractère	Phase	Heure t. m. Gr.			Période sec.	Amplitude (microns)		Distance km	Remarques
			h	m	s		A _N	A _E		
Beograd	I d	P \bar{N}	2	39	30,5	0,3			78	S v. Macroséisme N ^o 737
		iP \bar{E}	2	39	31,7	0,4		4		
		iN	2	39	32,0	0,3	4			
		i \bar{S} N	2	39	40,7	0,6	8			
		i \bar{S} E	2	39	41,4	0,6		24		
		MN	2	39	44,1	0,6	44			
		ME	2	39	44,9	0,6		50		
		MN	2	39	51,6	0,6	8			
		CN	2	39	53,9					
		CE	2	39	58,8					
		iN	2	40	03,8	0,3	4			
		FE	2	42						

N^o 183 — 3 Juin

Station	Caractère	Phase	Heure t. m. Gr.			Période sec.	Amplitude (microns)		Distance km	Remarques
			h	m	s		A _N	A _E		
Beograd	II u	ePR ₁ E	7	29	55,3				13.000 cca	Région des îles Timorlants
		eN	7	29	55,5	3,2				
		iPR ₁ N	7	31	05,9	3,8	4			
		eE	7	31	40,6	2,2		4		
		eN	7	31	49,8	3,8	6			
		eSR ₁ E?	7	38	31,3	3,6		6		
		eSR ₁ N?	7	38	31,5	7,5	8			
		eN	7	46	13,3	15,6		8		
		L(M) _N	8	09	18,5	32,1	10			
		LN	8	15	01,3	16,5		10		
		L(M) _N	8	16	19,3	24,2	6			
		LN	8	20	44,5	21,0		6		
		FN	8	54						

Station	Caractère	Phase	Heure t. m. Gr.			Période sec.	Amplitude (microns)		Distance km	Remarques
			h	m	s		A _N	A _E		
Ljubljana		e	7	30	53					
		i	7	31	33					
		i	7	39	07					
		e	7	41	07					
		L	8	01						
		M	8	11						
		F	9	06						
N ^o 184 — 5 Juin										
Beograd	II r	eP \bar{E}	8	27	36,1				1.800	Asie Mineure
		eP \bar{N}	8	27	43,7	1,5	4			
		iE	8	27	52,6	1,3		2		
		eE	8	28	02,6	1,5		3		
		eN	8	29	25,6	2,1	6			
		eN	8	29	47,0	3,4	2			
		eE	8	29	48,4	1,9		3		
		eS \bar{N}	8	31	03,6	5,1	6			
		eL \bar{E}	8	31	29,4	2,6		4		
		ME	8	31	41,4	1,9		8		
		ME	8	31	45,7	1,9		10		
		MN	8	31	48,6	3,9	30			
		MN	8	32	10,4	3,4	36			
		ME	8	32	10,4	1,9		10		
MN	8	32	34,5	4,4	8					
LN	8	36	52,8	4,8	28					
FN	8	46								
Ljubljana		e	8	28	42					
		e	8	31	46					
		i(S)	8	33	58					
		F	8	48						
N ^o 185 — 12 Juin										
Beograd	I d	iP \bar{N}	6	50	58,4	0,3			84	v. Macroséisme N ^o 790
		iE	6	51	01,0			2		
		iN	6	51	01,1			2		
		i \bar{S} N	6	51	09,4	0,4		2		
		MN	6	51	12,6	0,5	10			
		MN	6	51	16,9	0,5	18			
		ME	6	52	07,2			20		
		CE	6	52	25,8					
		FN	6	53						

SÉISMOGRAMMES

Station	Caractère	Phase	Heure t. m. Gr.			Période sec.	Amplitude (microns)		Distance km	Remarques
			h	m	s		A _N	A _E		
N ^o 186 — 13 Juin										
Beograd	IId	ePN	6	03	18,6	0,4	2		85	v. Macroséisme N ^o 795
		ePE	6	03	19,1	0,2		2		
		iE	6	03	20,5	0,2		2		
		iE	6	03	22,0	0,2		6		
		iSN	6	03	29,6	0,5	4			
		iSE	6	03	30,9	0,2		16		
		ME	6	03	32,1	0,2		46		
		MN	6	03	32,2	0,5	14			
		ME	6	03	34,3	0,2		32		
		MN	6	03	35,4	0,5	10			
		ME	6	03	36,4	0,2		24		
		ME	6	03	37,8	0,2		20		
		ME	6	03	39,3	0,2		12		
		iN	6	03	40,6	0,5	4			
		ME	6	03	41,1	0,2		8		
CN	6	03	43,8							
CE	6	03	47,9							
FE	6	06	12,0							
N ^o 187 — 18 Juin										
Beograd	IId	iPE	4	11	20,0	0,3			75	v. Macroséisme N ^o 816
		ePN	4	11	21,1	0,3				
		iN	4	11	21,4	0,3	2			
		iE	4	11	22,4	0,3		2		
		iN	4	11	22,7	0,3	2			
		iSN	4	11	29,4	0,4	4			
		iSE	4	11	29,7	0,4		14		
		ME	4	11	30,5	0,4		22		
		MN	4	11	31,1	0,4	16			
		ME	4	11	34,0	0,4		30		
		MN	4	11	36,2	0,4	10			
CN	4	11	43,6							
CE	4	11	48,4							
FN	4	13								
N ^o 188 — 18 Juin										
Beograd	IId	ePN	6	27	10,7	0,3			134	v. Macroséisme N ^o 818
		ePE	6	27	11,5					
		iN	6	27	11,9	0,5	12			
		iE	6	27	13,0			8		

SÉISMOGRAMMES

Station	Caractère	Phase	Heure t. m. Gr.			Période sec.	Amplitude (microns)		Distance km	Remarques
			h	m	s		A _N	A _E		
Beograd		iSN	6	27	27,8	0,5	19			
		iSE	6	27	28,8	1,8		35		
		MN	6	27	32,6	0,5	37			
		MN	6	27	33,8	0,5	31			
		ME	6	27	35,0			80		
		MN	6	27	36,2	0,5	37			
		MN	6	27	38,9	0,5	41			
		MN	6	27	39,6	0,5	36			
		ME	6	28	14,6			24		
		CN	6	28	30,3					
		FN	6	35						
N ^o 189 — 18 Juin										
Beograd	IId	ePN	9	26	59,9	0,3			120	v. Macroséisme N ^o 823
		iPE	9	26	59,9	0,4		2		
		iN	9	27	04,5	0,3	5			
		iE	9	27	06,1	0,4		12		
		iSN	9	27	15,5	0,4	14			
		iSE	9	27	15,9	1,9		28		
		MN	9	27	18,2	0,4	24			
		MN	9	27	19,8	0,4	31			
		MN	9	27	22,4	0,4	22			
		ME	9	27	25,4	1,9		73		
		CN	9	28	08,3					
iN	9	28	21,6	0,4	10					
FN	9	33,6								
N ^o 190 — 18 Juni										
Beograd	IId	ePE	10	37	15,2	0,2			110	v. Macroséisme N ^o 830
		iPN	10	37	15,9	0,3				
		iE	10	37	19,7	0,2		4		
		iE	10	37	19,8	0,3				
		iSE	10	37	29,2	0,3		6		
		iSN	10	37	30,7	0,4	5			
		MN	10	37	32,3	0,4	8			
		MN	10	37	34,4	0,4	10			
		ME	10	37	35,2	0,3		20		
		MN	10	37	37,0	0,4	12			
		CE	11	37	47,8					
iE	10	38	01,7	1,8		6				
FE	10	42								

Station	Caractère	Phase	Heure t. m. Gr.			Période sec.	Amplitude (microns)		Distance km	Remarques
			h	m	s		A _N	B _E		
N^o 191 — 18 Juin										
Beograd	I d	ePN	12	22	13,8	0,3			120	v. Macro-séisme N ^o 832
		iPE	12	22	14,5	0,3		2		
		iN	12	22	14,6	0,3				
		ie	12	22	18,8	0,4		10		
		iN	12	22	18,9	0,4	8			
		ie	12	22	20,7	0,4		16		
		iN	12	22	20,7	0,4	8			
		iSE	12	22	29,1	0,6		16		
		iSN	12	22	29,5	0,4	14			
		MN	12	22	34,2	0,4	24			
		MN	12	22	36,4	0,4	26			
		ME	12	22	38,3	0,6		46		
		MN	12	22	39,8	0,4	22			
		MN	12	22	40,9	0,4	18			
		CN	12	22	59,7					
CE	12	23	07,7							
FE	12	27								
N^o 192 — 19 Juin										
Beograd	I d	iPE	3	01	27,0	0,2			80	v. Macro-séisme N ^o 847
		iPN	3	01	27,2					
		ie	3	01	30,2					
		iN	3	01	31,2	0,4	4			
		iSE	3	01	37,3	0,3		10		
		iSN	3	01	37,7	0,5	10			
		ME	3	01	39,6	0,3		14		
		MN	3	01	40,3	0,5	24			
		ME	3	01	44,0	0,3		16		
		MN	3	01	44,4	0,5	8			
		CE	3	01	45,8					
FN	3	02	27,6							
N^o 193 — 19 Juni										
Beograd	d	ePE	6	34	13,7	0,4			105	v. Macro-séisme N ^o 853
		ePN	6	34	14,3					
		ie	6	34	15,5	0,4		2		
		iN	6	34	15,8					
		iSE	6	34	26,1	0,6		3		
		iSN	6	34	27,7	0,4				
		MN	6	34	33,7	0,4	13			
CN	6	34	40,5							
FN	6	35	25,7							

Station	Caractère	Phase	Heure t. m. Gr.			Période sec.	Amplitude (microns)		Distance km	Remarques
			h	m	s		A _N	A _E		
N^o 194 — 26 Juin										
Beograd	II v	ePN	11	23	08,6	1,1			1.000	Dégâts en Crimée
		ePE	11	23	09,6	1,6				
		eN	11	23	32,2	1,1	2			
		ee	11	24	12,9	2,1		8		
		eN	11	24	13,8	2,7	4			
		iSE	11	24	57,6	2,0		8		
		iSN	11	24	57,8	2,7	9			
		iN	11	25	14,3	1,8	8			
		ie	11	25	19,4	2,1		14		
		iLN	11	25	43,5	4,3	19			
		ie	11	25	45,7	2,0		16		
		ie	11	26	36,7	1,8		21		
		ie	11	27	23,0	2,1		18		
		MN	11	27	25,3	4,0	68			
		MN	11	28	02,3	4,0	62			
		ie	11	28	05,0	2,8		16		
		MN	11	28	28,3	4,1	50			
LN	11	34	12,8	6,1	6					
LN	11	37	12,7	6,0	4					
LN	11	44	18,7	7,6	2					
FN	12	06								
Ljubljana		e	11	24	08					
		eL	11	28	30					
		F	11	48						
N^o 195 — 30 Juin										
Beograd	I d	ePN	14	23	31,1				84	v. Macro-séisme N ^o 890
		ePE	14	23	32,1					
		iSN	14	23	42,1		2			
		iSE	14	23	42,1	0,6		9		
		CE	14	23	44,9					
		iN	14	23	48,8	0,3	2			
FE	14	24	05,7							
N^o 196 — 26 Juin										
Beograd	I d	ePE	22	21	52,5				80	v. Macro-séisme N ^o 892
		ePN	22	21	52,7					
		iSE	22	22	02,1	0,5		5		
		iSN	22	22	03,0		2			

Station	Caractère	Phase	Heure t. m. Gr.			Période sec.	Amplitude (microns)		Distance km	Remarques
			h	m	s		A _N	A _E		
Beograd		ME	22	22	04,0	0,5		6		
		iN	22	22	04,3	0,3	2			
		iN	22	22	05,8		4			
		CN	22	22	07,6					
		FE	22	22	22,3					
<i>N^o 197 — 30 Juin</i>										
Beograd	Id	ePE	13	38	06,3	0,4		123	v. Macroséisme N ^o 896	
		ePN	13	38	06,4					
		iSE	13	38	21,6	0,4		4		
		iSN	13	38	22,1	0,4	2			
		MN	13	38	24,0	0,4	12			
		MN	13	38	25,1	0,4	20			
		iE	13	38	25,5	0,4		3		
		MN	13	38	26,5	0,4	20			
		CN	13	38	30,3					
		FN	13	39	01,0					
<i>N^o 198 — 30 Juin</i>										
Beograd	II v	ePE	23	01	10,0	1,4		680		
		ePN	23	01	10,8					
		iPE	23	02	08,6			8		
		iSE	23	03	02,8	2,3		12		
		iSN	23	03	03,0	4,1	14			
		ME	23	03	14,2	2,5		22		
		ME	23	03	22,0	2,4		22		
		MN	23	03	23,7	4,6	44			
		ME	23	03	29,4	2,1		18		
		ME	23	03	36,0	3,9		14		
		MN	23	03	37,7	4,3	48			
		iN	23	03	50,9	5,0	36			
		iE	23	04	13,0	1,8		12		
		iN	23	04	19,3	4,2	20			
		iN	23	05	52,8		12			
		iN	23	06	40,8	4,3	12			
		iN	23	07	37,5	5,6	10			
FN	23	09	07,5	5,2	8					
			23	21,5						
Ljubljana		e	23	02	10					
		e	23	03	26					
		iS	23	04	54					
		F	23	18						

Station	Caractère	Phase	Heure t. m. Gr.			Période sec.	Amplitude (microns)		Distance km	Remarques
			h	m	s		A _N	A _E		
Juillet 1927.										
<i>N^o 199 — 1 Juillet</i>										
Beograd	III r	ePN	8	20	55,8	3,6			920	Grèce
		eE	8	21	09,8	2,0				
		iPN	8	21	16,6	4,2		44		
		iN	8	21	58,1	3,9		104		
		iE	8	21	58,3	2,0		38		
		iN	8	22	04,6	4,4		144		
		iSN	8	22	38,6	5,4		56		
		i(S)E	8	22	39,3	2,0		64		
		iE	8	23	03,3	2,0		120		
		iN	8	23	15,9	4,9		120		
		MN	8	24	14,9	4,1		400		
		iE	8	24	45,6	2,5		85		
		MN	8	25	0,6	4,1		560		
		ME	8	25	24,8	2,0		176		
		MN	8	25	45,6	4,1		560		
		MN	8	26	17,6	4,1		326		
		MN	8	26	44,7	4,7		260		
		MN	8	27	02,6	4,7		220		
		iN	8	28	49,9	4,5		92		
		iN	8	29	32,7	4,5		80		
iN	8	30	04,2	4,6		75				
iN	8	31	30,2	4,4		88				
iN	8	32	16,6	4,8		36				
FN	8	55								
Ljubljana		e	8	21	38					
		i	8	23	37					
		M	8	26	01	3,0	130	50		
		F	9	06						
<i>N^o 200 — 8 Juillet</i>										
Beograd	II d	PE	12	17	1,6	0,2			110	v. Macroséisme N ^o 909
		PN	12	17	2,5	0,3	3			
		iE	12	17	3,2	0,2		4		
		iN	12	17	4,7	0,3		4		
		iE	12	17	5,1	0,2		4		
		iN	12	17	6,0	0,3		4		

Station	Caractère	Phase	Heure t. m. Gr.			Période sec.	Amplitude (microns)		Distance km	Remarques
			h	m	s		A _N	A _E		
Beograd		i SE	12	17	15,5	1,8		10		
		i SN	12	17	16,3	0,6	6			
		MN	12	17	17,9	0,6	40			
		MN	12	17	20,9	0,6	41			
		MN	12	17	22,1	0,6	34			
		MN	12	17	23,2	0,6	3?			
		ME	12	17	25,9	1,9		48		
		ME	12	17	33,9	1,9		40		
		CN	12	17	43,6					
FN	12	21								
N ^o 201 — 11 Juillet										
Beograd	Ir	ePE	13	08	10,2			2000	Destructeur en Palestine	
		iPN	13	08	10,3	1,6	16			
		iE	13	08	18,4	1,8		12		
		eSE	13	11	32,2	2,5		3		
		iSN	13	11	37,7	4,2	8			
		iN	13	11	52,6	4,3	24			
		eLN	13	14	50,0	16,7	8			
		LN	13	17	37,4	16,7	4			
LN	13	26	41,3	16,7	4					
FN	13	36								
Ljubljana	e		13	08	58					
		i	13	09	04					
		i	13	13	03					
		M	13	17	53					
FN	13	42								
N ^o 202 — 14 Juillet										
Beograd	Id	ePE	2	06	49,2			70	v. Macroéisme N ^o 922	
		ePN	2	06	50,2					
		iSE	2	06	58,4	0,2		5		
		iSN	2	07	00,2					
		ME	2	07	01,2	0,2		5		
		MN	2	07	01,4		1			
		ME	2	07	04,7	0,2		4		
		CN	2	07	16,8					
FN	2	07	30,8							

Station	Caractère	Phase	Heure t. m. Gr.			Période sec.	Amplitude (microns)		Distance km	Remarques
			h	m	s		A _N	A _E		
N ^o 203 — 14 Juillet										
Beograd	Id	iPN	6	47	38,3	0,3	2		75	v. Macroéisme N ^o 924
		iPE	6	47	38,7			10		
		iN	6	47	39,4	0,3	2			
		iE	6	47	40,2	0,2		4		
		iSN	6	47	48,1	0,6	2			
		iSE	6	47	49,2					
		ME	6	47	50,5			14		
		MN	6	47	50,6	0,6	10			
		ME	6	47	53,1			8		
		MN	6	47	54,6	0,6	6			
		ME	6	47	55,0			14		
		MN	6	47	57,6	0,6	12			
		CN	6	48	03,6					
FN	6	48	37,7							
N ^o 204 — 19 Juillet										
Beograd	Id	ePE	0	49	17,6				75	v. Macroéisme N ^o 935
		ePN	0	49	19,9					
		iSE	0	49	27,5	0,2		6		
		iSN	0	49	28,5					
		ME	0	49	30,6	0,2		8		
		MN	0	49	30,9	0,3	6			
		CE	0	49	45,0					
		FE	0	50	14,9					
N ^o 205 — 21 Juillet										
Beograd	Od	ePE	3	30	37,9				155	v. Macroéisme N ^o 944
		iSE	3	30	51,5					
		CE	3	31	01,5					
		FE	3	31	52,5					
N ^o 206 — 21 Juillet										
Beograd	Id	ePE	3	32	41,5	0,3			120	v. Macroéisme N ^o 945
		ePN	3	32	43,2	0,4				
		iN	3	32	44,9	0,5				
		iE	3	32	47,0	0,3		2		
		iSE	3	32	56,2	0,5		4		
		iSN	3	32	58,5	0,3	3			
		MN	3	33	01,7	0,5	12			
		ME	3	33	07,0	0,5		20		
		CE	3	34	30,2					
		FE	3	37	28,5					

Station	Caractère	Phase	Heure t. m. Gr.			Période sec.	Amplitude (microns)		Distance km	Remarques	
			h	m	s		A _N	A _E			
N^o 207 — 21 Juillet											
Beograd	od	eP _E	4	28	26,3	0,4	2	120	v. Macro-séisme N ^o 946		
		iS _E	4	28	41,2						
		CE	4	28	51,7						
		FE	4	29	40,0						
N^o 208 — 21 Juillet											
Beograd	ld	eP _E	6	35	57,5	0,4	2	95	v. Macro-séisme N ^o 947		
		iS _E	6	36	09,6						
		CE	6	36	20,6						
		FE	0	37	43,7						
N^o 209 — 21 Juillet											
Beograd	ld	eP _N	23	36	09,6	0,3	10	80	v. Macro-séisme N ^o 949		
		eE	23	36	11,1						
		iS _E	23	36	19,6						
		iS _N	23	36	20,1					0,5	25
		ME	23	36	20,9					0,3	24
		MN	23	36	23,1					0,5	25
		ME	23	36	25,7					0,3	14
		CN	23	36	35,6						
FN	23	37	28,1								
N^o 210 — 22 Juillet											
Beograd	lr	eP _N	4	00	39,4	3,1	6	3.500	Région côté S. E. de la mer Caspienne		
		iN	4	01	00,4	3,4	4				
		eN	4	01	32,4	2,7	4				
		eN	4	02	00,9	3,5	5				
		eN	4	02	16,4	3,0	6				
		eS _N	4	05	57,4	5,3	10				
		eN	4	08	12,1	4,1	8				
		eL _N	4	11	21,4	17,8	8				
		LN	4	13	30,3	8,2	6				
		LN	4	17	12,1	9,5	4				
		FN	4	20	33,9	12,7	8				
		Ljubljana	e	i	4	01	38				
e	4			02	42						
e	4			06	51						
M	4			13	37						
C	4			16	39						
F	4			21							
			4	36							

Station	Caractère	Phase	Heure t. m. Gr.			Période sec.	Amplitude (microns)		Distance km	Remarques
			h	m	s		A _N	A _E		
N^o 211 — 22 Juillet										
Beograd	Or	e(P) _N	10	4	09,8	1,4	(520)	Épicentre probable au sud du lac Prespa v. Macro-séisme N ^o 953		
		eE	10	4	14,9	1,5				
		e(S) _N	10	5	07,7					
		eE	10	5	09,3	2,1				
		eN	10	5	37,1					
N^o 212 — 22 Juillet										
Beograd	ld	eP _N	16	59	31,7	0,2	2	80	v. Macro-séisme N ^o 955	
		e(P) _E	16	59	38,6					
		iS _N	16	59	42,1					
		i(S) _N	16	59	45,7					
		MN	16	59	48,8					
FN	17	00	21,4							
N^o 213 — 23 Juillet										
Beograd	Od	e(P) _E	0	13	43,2	2,1	(200)	v. Macro-séisme N ^o 960		
		eN	0	13	43,2	0,2				
		e(S) _E	0	14	10,2	2,2				
		eN	0	14	24,7	1,5				
		eE	0	14	26,7	1,5				
N^o 214 — 23 Juillet										
Beograd	ld	iP _N	19	15	10,6	1,8	3	270	v. Macro-séisme N ^o 965	
		eP _E	19	15	12,0		2			
		iE	19	15	14,7	1,3	3			
		iS _E	19	15	55,9	1,9	12			
		iS _N	19	16	03,6	2,1	8			
		ME	19	16	09,9	1,9	50			
		CE	19	16	40,7					
		F	19	22						
N^o 215 — 23 Juillet										
Beograd	Od	eP _E	22	46	18,8	1,9	3	130		
		eP _N	22	46	22,5	2,5	4			
		eN	22	47	16,6	2,8	4			
		eE	22	47	24,7	2,2				
		eS _E	22	48	36,6	3,0	2			
		eS _N	22	48	37,6	4,5	5			
		eL _N	22	51	04,6	6,4	6			
		MN	22	52	16,8	6,4				
		LN	23	02	23,9	6,4				
		LN	23	03	09,6	10,0				
FN	23	10								

Station	Caractère	Phase	Heure t. m. Gr.			Période sec.	Amplitude (microns)		Distance km	Remarques
			h	m	s		A _N	A _E		
• № 216 — 24 Juillet										
Beograd	l d	i P _N	3	50	29,8	0,4			70	v. Macroséisme № 969
		i N	3	50	32,0	0,4	3			
		i N	3	50	34,7	0,4	2			
		i S _N	3	50	39,1	0,4	2			
		M _N	3	50	42,9	0,4	20			
		M _N	3	50	48,6	0,4	10			
		F _N	3	53						
№ 217 — 24 Juillet										
Beograd	l d	e P _E	4	08	03,6	0,2			74	v. Macroséisme № 970
		e P _N	4	08	04,0					
		i N	4	08	07,5					
		i E	4	08	08,0	0,2	2			
		i S _E	4	08	14,6	0,2	6			
		M _E	4	08	15,6	0,2	8			
		M _E	4	08	16,4	0,2	10			
		F _E	4	08	21,8					
№ 218 — 24 Juillet										
Beograd	l d	i P _N	4	34	04,7	0,3	4		75	v. Macroséisme № 972
		P _E	4	34	05,0	0,2	4			
		i S _N	4	34	14,1	0,3	4			
		i S _E	4	34	15,7	0,2	16			
		M _E	4	34	17,4	0,2	66			
		M _N	4	34	17,9	0,3	80			
		M _E	4	34	18,7	0,2	70			
		M _N	4	34	21,5	0,5	60			
		M _E	4	34	26,8	0,3	66			
		C _N	4	34	28,1	0,2	35			
№ 219 — 24 Juillet										
Beograd	l d	i P _N	4	38	43,6	0,4	2		60	v. Macroséisme № 973
		i N	4	38	47,7	0,4	2			
		i S _N	4	38	51,3	0,4	2			
		M _N	4	38	53,2	0,4	24			
		M _N	4	38	57,6	0,4	10			
		F _N	4	40						

Station	Caractère	Phase	Heure t. m. Gr.			Période sec.	Amplitude (microns)		Distance km	Remarques
			h	m	s		A _N	A _E		
№ 220 — 24 Juillet										
Beograd	o d	e P _N	4	39	56,9				80	v. Macroséisme № 974
		i S _N	4	40	07,4	0,2				
		M _N	4	40	07,8	0,2	2			
		F _N	4	40	16,0					
№ 221 — 24 Juillet										
Beograd		e E	4	48	00,5					Vibrations
		F _E	4	48	27,0					
№ 222 — 24 Juillet										
Beograd		e E	4	51	31,8					Vibrations v. Macroséisme № 975
		F _E	4	51	33,1					
№ 223 — 24 Juillet										
Beograd		e E	4	52	00,5					Vibrations
		F _E	4	52	08,0					
№ 224 — 24 Juillet										
Beograd		e E	4	52	22,5					Vibrations
		F _E	4	53	05,5					
№ 225 — 24 Juillet										
Beograd		e E	4	53	10,9					Vibrations v. Macroséisme № 976
		F _E	4	54	02,4					
№ 226 — 25 Juillet										
Beograd	l d	i P _E	5	01	05,4	0,2	2			v. Macroséisme № 977
		i E	5	01	07,9	0,2	6			
		i E	5	01	08,6	0,2	4			
		i E	5	01	09,6	0,2	4			
		C _E	5	01	14,8					
		F _E	5	02						
№ 227 — 24 Juillet										
Beograd	l r	e P _N	20	13	09,9				2000	
		e S _N	20	17	13,3	4,8				
		i N	20	19	18,1	3,9	5			
		M _N	20	19	36,8	3,6	10			
		F _N	20	26						

SEISMOGRAMMES

Station	Caractère	Phase	Heure t. m. Gr.			Période sec.	Amplitude (microns)		Distance km	Remarques
			h	m	s		A _N	A _E		
N^o 228 — 24 Juillet										
Ljubljana	II r	eP	20	35	59					
		iP	20	36	01					
		i	20	36	23					
		ME	20	36	27	2,0		50		
		MN	20	36	27	2,0	40			
		C	20	37	37					
		F	20	44						
Beograd	II r	ePE	20	37	00,4	1-4			560	Autriche; ressenti à Vienne et à Graz
		ePN	20	37	18,5					
		iN	20	37	54,3	3,2	2			
		iE	20	37	57,8	1,4		4		
		iN	20	38	22,7	1,4		4		
		iSN	20	38	28,1	3,2	4			
		i(M) _N	20	38	40,5	3,2	6			
		i(M) _N	20	38	53,0	3,2	8			
		LN	20	39	59,5	7,1				
		LN	20	40	20,9	7,1				
		LN	20	42	58,1	5,4				
		FN	20	46						
N^o 229 — 25 Juillet										
Beograd		eN	12	12,7						Traces. Phases vagues
		FN	12	20						Manque des contacts à minutes
N^o 230 — 26 Juillet										
Ljubljana		eP	12	10	52					
		i	12	11	56					
		i	12	12	14					
		F	12	18						
N^o 231 — 26 Juillet										
Beograd	I d	ePN	17	45	41,0				98	v. Macroséisme N ^o 994
		iPE	17	45	42,4					
		iSN	17	45	53,5	0,4	2			
		iSE	17	45	54,6	0,3		6		
		MN	17	45	54,8	0,5	8			
		ME	17	45	55,0	0,3		10		
		ME	17	45	56,3	0,3		10		
		CE	17	46	05,7					
		FE	17	46	10,2					

SEISMOGRAMMES

Station	Caractère	Phase	Heure t. m. Gr.			Période sec.	Amplitude (microns)		Distance km	Remarques
			h	m	s		A _N	A _E		
N^o 232 — 28 Juillet										
Beograd	I r	ePE	6	51	00,2	1,4			700	
		ePN	6	51	10,4	1,9	2			
		PE	6	51	44,2	1,5				
		iE	6	51	58,1	1,8		3		
		iE	6	52	04,5	2,1		3		
		iSN	6	52	09,4	3,7	6			
		iSE	6	52	16,4	2,0		6		
		iE	6	52	27,8	2,1		6		
		iN	6	52	31,6	3,2	12			
		iE	6	52	34,9	2,1		5		
		iE	6	52	40,6	2,1		6		
		iE	6	52	47,7	2,1		5		
		MN	6	52	50,9	4,4	30			
		ME	6	52	55,8	2,1		7		
		ME	6	53	00,9	2,1		7		
		MN	6	53	06,1	4,4	28			
		iE	6	53	11,2	2,1		4		
		iE	6	53	15,6	2,1		6		
		iE	6	53	22,1	2,1		6		
		MN	6	53	24,5	3,5	14			
		MN	6	54	05,8	4,1	14			
		LN	6	55	30,7	4,6	8			
		LN	6	57	19,7	4,6	6			
		FN	7	06						
N^o 233 — 28 Juillet										
Beograd	O	eN	16	29	55,2	3,1				Alaska
		eE	16	29	56,4	1,9				
		iN	16	30	13,4	2,5				
		eN	16	30	51,0	2,5				
		eE	16	30	57,9	2,2				
		eN	16	32	08,2					
		FE	16	35						
Août 1927.										
N^o 234 — 3 Août										
Ljubljana	I d	eP	19	58	58				95	v. Macroséisme N ^o 1006
		eS	20	05	09					
		eL	20	16						
		F	21	12						

Station	Caractère	Phase	Heure t. m. Gr.			Période sec.	Amplitude (microns)		Distance km	Remarques
			h	m	s		A _N	A _E		
N ^o 235 — 5 Août										
Beograd	Od	ePE	3	07	54,0	0,4	10		78	Sur la composante NS le séisme n'est pas inscrit
		iSE	3	07	04,3					
		ME	3	07	05,3					
		CE	3	07	19,3					
		FE	3	07	34,5					
N ^o 236 — 5 Août										
Beograd	Il u	ePE	21	25	30,7	3,0	6	9080		Fukushima (Japon)
		iPN	21	25	18,7					
		iE	21	25	54,1					
		eSE	21	35	03,9					
		iSN	21	35	33,7					
		eN	21	37	18,3					
		eN	21	41	14,5					
		eLN	21	54	56,5					
		LN	21	56	26,5					
		eLE	21	56	33,9					
		MN	21	58	20,3					
		LN	22	00	46,2					
		MN	22	05	17,6					
		LE	22	06	30,2					
		LN	22	08	52,5					
		LN	22	09	54,5					
		FN	22	16	00,7					
Ljubljana		eP	21	25	26			9110		
		e	21	28	33					
		eS	21	35	42					
		L	21	55						
		MN	22	00	17					
Beograd	O	eN	0	30	10,3	2,5	3			
		eN	0	32	40,8					
Beograd	O	LN	0	40	26,5	4,2				
		LN	0	47	26,5					
		FN	0	50						

Station	Caractère	Phase	Heure t. m. Gr.			Période sec.	Amplitude (microns)		Distance km	Remarques
			h	m	s		A _N	A		
N ^o 238 — 6 Août										
Ljubljana	O	e	6	35	25					
		i	6	35	30					
		i	6	36	19					
		i	6	36	46					
		M	6	37	01					
		F	6	48						
N ^o 239 — 7 Août										
Beograd	Id	P _N	5	26	22,2	0,3	8	75		v. Macroséisme N ^o 1015
		PE	5	26	22,2					
		S _N	5	26	31,6					
		iSE	5	26	31,9					
		M _N	5	26	32,9					
		iE	5	26	34,8					
		ME	5	26	35,8					
		ME	5	26	37,9					
		ME	5	26	41,3					
		CE	5	26	44,3					
Sarajevo	d	iP	6	34	36			250		v. Macroséisme N ^o 1020
		i	6	31	42					
		i	6	34	48					
		i	6	34	55					
		iS	6	35	08					
		M	6	35	16					
Beograd		iPE	6	34	38,0	1,4	5	290		
		iPN	6	34	38,5					
		iN	6	34	46,9					
		iE	6	34	47,7					
		iE	6	35	02,8					
		iE	6	35	11,6					
		iE	6	35	13,8					
		iSE	6	35	19,0					
		iE	6	35	21,4					
		iN	6	35	21,7					
ME	6	35	24,7							

Station	Caractère	Phase	Heure t. m. Gr.			Période sec.	Amplitude (microns)		Distance km	Remarques
			h	m	s		A _N	A _E		
Beograd		ME	6	35	30,4	2,1		90		
		MN	6	35	31,2	3,5	153			
		MN	6	35	40,6	3,5	160			
		ME	6	35	44,0			84		
		ME	6	35	54,2	2,1		57		
		ME	6	36	17,5	2,1		46		
		MN	6	36	19,8	3,5	104			
		ME	6	36	28,3	2,1		40		
		CN	6	36	29,4					
		iN	6	36	48,1	3,5	20			
		ME	6	36	57,6	2,1		32		
		iN	6	38	15,3	3,5	6			
		iE	6	38	15,6	2,1		6		
FN	6	47								
Dubrovnik		P	(7	34	39)			300		
Mostar		e	6	35	04					
		e	6	35	22					
		M	6	35	28					
		F	6	38						
Beograd		eN FN	N ₂ 241 — 8 Août			7,2	2		Trace d'un séisme	
			1	19	23,4					
Ljubljana	O	e e e M F	N ₂ 242 — 10 Août							
			12	01	27					
			12	04	52					
			12	10	32					
			12	40	13					
Beograd	Id	ePN ePE eSN iE ME ME MN iN FN	N ₂ 243 — 11 Août			0,9 1,2 1,4 1,9 1,9 3,3 3,4	5 8 9	370	v. Macroséisme N: 1042	
			1	35	16,9					
			1	35	17,9					
			1	36	04,0					
			1	36	05,3					
			1	36	17,1					
			1	36	26,9					
			1	36	29,2					
1	36	44,1								
			1	38	07,5					

Station	Caractère	Phase	Heure t. m. Gr.			Période sec.	Amplitude (microns)		Distance km	Remarques
			h	m	s		A _N	A _E		
Beograd		eN eN e(S)N LN LN FN	N ₂ 244 — 12 Août			4,2 4,6 9,4 10,7			Trace d'un séisme	
			10	35	28,9					
			10	36	31,8					
			10	39	32,7					
			10	48	20,8					
			10	50	17,1					
			10	54						
Beograd	Id	ePN eN ee iS ee eN eLN LN LN MN MN LN FN	N ₂ 245 — 18 Août			3,3 9,0 23,0 21,4 21,1 16,8 14,3 15,6	2 3 6 8 8 16 18 8	9080	Probablement réplique du N ₂ 236	
			19	39	42,3					
			19	40	25,1					
			19	40	27,4					
			19	50	07,0					
			19	50	46,9					
			19	50	49,9					
			20	14	05,4					
			20	15	11,9					
			20	19	34,0					
			20	22	22,9					
			20	25	17,1					
			20	28	58,9					
20	50									
Ljubljana		e e eL MN ME F	19	40	39					
			19	51	19					
			20	14		15,0	30			
			20	18	02					
			20	25	04			60		
Beograd	ou	ePN eSN LN LN F	N ₂ 246 — 21 Août			3,7 8,0 18,0 16,5	3 2	5850	Sur la composante E W traces illisibles	
			0	11	40,0					
			0	19	07,2					
			0	32	22,0					
			0	57	04,4					
			1	12						
Beograd	d	ePE eN eSE	N ₂ 247 — 21 Août			4,1 1,4	4 2	180		
			17	29	58,6					
			17	30	21,2					
			17	30	21,6					

SÉISMOGRAMMES

Station	Caractère	Phase	Heure			Période sec.	Amplitude (microns)		Distance km	Remarques
			t.	m.	Gr.		A _N	A _E		
Beograd		eE	17	30	27,7	2,1		3		
		eE	17	30	57,8	3,2		2		
		eN	17	31	27,2	9,8	4			
		FE	17	42						
N ^o 248 — 22 Août										
Ljubljana		e	7	54	45					
		e	8	04	42					
		L	8	17						
		M	8	20						
		F	8	06						
N ^o 249 — 22 Août										
Beograd	l d	ePN	21	42	01,9			75	v. Macro-séisme N ^o 1053	
		ePE	21	42	04,0					
		iSE	21	42	11,5	0,4	4			
		iSN	21	42	13,1	0,3				
		ME	21	42	14,0	0,4	8			
		MN	21	42	14,2	0,3	9			
		ME	21	42	15,5	0,4	8			
		MN	21	42	17,6	0,3	4			
		ME	21	42	17,8		8			
		CN	21	42	19,0					
CE	21	44	22,0							
FN, E	21	43								
N ^o 250 — 28 Août										
Mostar	d	P	18	11	41			50—55		
		S	18	11	48					
		M ₁	18	11	52		14			
		M ₂	18	12	06		3			
		M ₃	18	12	16		2			
F	18	12	30							
Septembre 1927.										
N ^o 251 — 11 Septembre										
Beograd	ll r	ePE	22	18	08,4			1060	Crimée. Destructeur à Jalta et à Sevastopol	
		ePN	22	18	08,4					
		iE	22	18	19,9	1,3	5			
		iN	22	18	15,7					
		iE	22	18	18,1	1,5	13			

SÉISMOGRAMMES

Station	Caractère	Phase	Heure			Période sec.	Amplitude (microns)		Distance km	Remarques
			t.	m.	Gr.		A _N	A _E		
Beograd		eN	22	18	18,5	1,4				
		iN	22	18	25,6	2,1	4			
		iE	22	18	20,3	1,8		33		
		iN	22	19	16,4	2,7	10			
		iE	22	19	17,6	2,0		27		
		iSN	22	20	03,1	3,8	29			
		iSE	22	20	03,1	2,4		69		
		iE	22	20	30,7	2,3		88		
		iN	22	20	40,1	4,0		83		
		MN	22	20	42,0	4,0		150		
		MN	22	21	07,2	4,0		280		
		ME	22	21	20,3	2,2		75		
		ME	22	21	30,7	2,2		126		
		ME	22	21	19,4	2,2		191		
		ME	22	22	44,3	2,2		115		
		MN	22	23	12,6	4,7		322		
		MN	22	23	28,1	4,5		200		
		ME	22	23	33,7	2,0		52		
		MN	22	23	50,6	4,4		216		
		MN	22	24	21,3	4,3		276		
		iE	22	25	34,0	2,2		40		
		iN	22	25	58,7	3,7		220		
		iN	22	26	11,9	4,4		138		
		MN	22	27	03,1	3,7		164		
		MN	22	27	40,6	4,8		168		
		MN	22	28	14,6	4,8		113		
		MN	22	28	18,9	4,8		100		
iN	22	29	46,5	3,9		86				
LN	22	31	46,5	14,0		22				
LN	22	39	10,8	09,5		8				
LN	22	41	30,1	10,9		8				
F	23	03								
Ljubljana		e	22	19	05					
		i	22	19	14					
		i	22	19	27					
		i	22	20	41					
		i	22	21	04					
		e	22	22	04					
		MN	22	25	53	12,0		280		
ME	22	25	53	12,0		310				
F	23	18								

SÉISMOGRAMMES

Station	Caractère	Phase	Heure t. m. Gr.			Période sec.	Amplitude (microns)		Distance km	Remarques
			h	m	s		A _N	A _E		
N ^o 252 — 11 Septembre										
Beograd	I p	ePE	23	46	56,3	1,2			1020	Réplique
		ePN	23	46	56,7	1,3				
		iSN	23	48	42,3	1,3	4			
		iSE	23	48	44,8	1,7		6		
		iE	23	50	05,1	1,9		6		
		eLN	23	50	06,1	4,2	12			
		MN	23	50	43,4	4,2	18			
		ME	23	51	03,7	1,8		14		
		MN	23	51	07,3	4,2		22		
		LN	23	56	03,8	5,7				
		LE	23	56	50,6	6,5				
		LN	23	57	28,1	6,2				
		LE	23	57	28,3	7,3				
		FN, E	24	06						
N ^o 253 — 12 Septembre										
Beograd	I p	ePE	3	22	30,1	1,6			1150	Réplique
		ePN	3	22	30,7	1,1				
		SN	3	24	30,1	2,5	6			
		iSE	3	24	31,9	1,9		8		
		iN	3	25	20,7	3,8	12			
		iE	3	25	21,8	2,2		8		
		iE	3	25	51,9	1,9		16		
		iN	3	26	07,5	3,7	26			
		ME	3	26	16,2	1,9		16		
		MN	3	26	51,3	3,7	90			
		iE	3	26	58,5	1,9		16		
		iN	3	28	12,3	4,2	20			
		LE	3	31	33,7	6,8				
		LN	3	32	36,4	8,3	6			
		LE	3	32	51,1	6,1				
		LN	3	34	10,0	8,1	8			
LN	3	37	48,2	9,5						
LN	3	41	10,4	9,1						
FN	4	06								
N ^o 254 — 12 Septembre										
Beograd	O p	e(P)E	6	35	14,6				1300	Réplique
		eN	6	35	19,9					
		SN	6	37	39,4	1,7				
		eSE	6	37	41,3	2,2		1		

SÉISMOGRAMMES

Station	Caractère	Phase	Heure t. m. Gr.			Période sec.	Amplitude (microns)		Distance km	Remarques
			h	m	s		A _N	A _E		
Beograd		eLN	6	38	46,6	5,6				
		ME	6	39	08,6	2,4		3		
		MN	6	39	27,6	3,9	10			
		ME	6	39	23,6	2,3		3		
		MN	6	40	18,6	4,6	10			
		LE	6	41	21,2	8,5				
		LN	6	41	26,3	5,9	2			
		LE	6	47	33,8	6,1				
		LN	6	48	32,6	7,0				
		F	6	54						
N ^o 255 — 12 Septembre										
Beograd	O p	eN	7	44	56,4				1000	Réplique
		ePN	7	44	57,1					
		e(S)E	7	46	44,5	1,9				
		SN	7	46	55,7					
		ee	7	47	34,2	1,9				
		ee	7	48	13,0	1,9		2		
		ee	7	48	29,3	1,9		2		
		FE	8	00						
N ^o 256 — 12 Septembre										
Beograd	I p	ePE	14	26	16,8	1,0			1220	Réplique
		ePN	14	26	17,3					
		iN	14	26	25,1	1,8				
		iE	14	26	26,1	1,8		6		
		iN	14	27	31,7	1,3	3			
		iE	14	27	33,0	1,9		8		
		iSN	14	28	26,4	2,6	7			
		iSE	14	28	26,4	2,1		14		
		iLN	14	29	06,4	4,5	21			
		iE	14	29	07,2	2,1		24		
		MN	14	29	35,5	4,5	28			
		MN	14	29	40,7	4,4	24			
		ME	14	29	41,0	2,1		48		
		ME	14	29	51,8	2,1		56		
		MN	14	30	33,5	4,4	24			
		iE	14	30	40,2	1,9		22		
LE	14	36	36,4	8,7						
LN	14	36	47,1	7,9						
LN	14	42	03,4	9,3						
F	14	55								

Station	Caractère	Phase	Heure			Période sec.	Amplitude (microns)		Distance km	Remarques	
			t.	m.	Gr.		A _N	A _E			
N^o 257 — 13 Septembre											
Beograd	Od	P	19	36	37			4	50		
		S	19	36	43						
		M ₁	19	36	45						
		M ₂	19	36	58						1
		F	19	37							
N^o 258 — 14 Septembre											
Beograd	Op	ePN	2	36	25,6			2	1070		
		eSN	2	38	20,3	3,2					
		LN	2	41	30,7	5,0					
N^o 259 — 14 Septembre											
Beograd	O	eN	2	49	03,8	1,4					
		eE	2	49	11,5	1,4					
		eN	2	51	06,8	3,3					
		eE	2	51	20,2	2,1					
		F	2	55							
N^o 260 — 17 Septembre											
Beograd	Ild	iPN	13	45	42,1	0,2	2		80	Ressenti à Beograd v. Macroséisme N ^o 1074	
		ePE	13	45	42,2	0,3					
		iE	13	45	42,9	0,3					
		iN	13	45	43,9	0,3	4				
		iE	13	45	43,9	0,3		20			
		iSE	13	45	52,5	0,4		36			
		iSN	13	45	52,6	0,3	16				
		ME	13	45	56,3	0,4		151			
		MN	13	45	59,4	0,5	186				
		CN	13	46	18,3						
F _{N,E}	13	50									
N^o 261 — 23 Septembre											
Ljubljana		e	6	17	24						
		e	6	22	45						
N^o 260 — 23 Septembre											
Beograd	O	ePE	14	02	32,3	1,9	2			Probablement : Mongolie	
		ePN	14	02	33,2	1,8					
		eN	14	04	22,4	3,1					
		eE	14	04	30,6	1,8					
		eN	14	12	48,8	4,9					

Station	Caractère	Phase	Heure			Période sec.	Amplitude (microns)		Distance km	Remarques
			t.	m.	Gr.		A _N	B _E		
		eLN	14	19	17,5	6,9				
		LN	14	20	33,9	5,9	4			
		LN	14	21	54,6	5,6	6			
		LN	14	24	09,8	8,1	5			
		FN	14	40						
N^o 263 — 24 Septembre										
Beograd	Ov	ePE	6	16	19,7	1,8		3	970	
		ePN	6	16	20,9	1,2	2			
		iN	6	17	21,5	1,7	2			
		iE	6	17	39,9	1,8		4		
		SE	6	18	05,3	2,5		2		
		iSN	6	18	05,9	3,1	5			
		iN	6	19	02,8	3,8	10			
		iE	6	19	07,8	1,8		10		
		iE	6	19	31,6	1,8		6		
		iLN	6	19	34,2	5,1	14			
		ME	6	19	54,0	1,8		8		
		ME	6	20	06,5	1,9		22		
		MN	6	20	21,0	4,4	40			
LN	6	28	32,8	9,6						
F	6	45								
N^o 264 — 28 Septembre										
Beograd	Id	iPN	23	32	01,9	0,2	2		365	v. Macroséisme N ^o 1120
		iPE	23	32	02,6	0,2				
		iE	23	32	14,6	0,4		12		
		iN	23	32	15,2	0,6	4			
		iN	23	32	17,5	0,4	28			
		iSE	23	32	27,6	1,4		10		
		iSN	23	32	28,2	0,4	4			
		ME	23	32	32,7	1,4		14		
		ME	23	32	41,6	1,4		12		
		F	23	36,5						
N^o 265 — 30 Septembre										
Beograd	Id	ePE	19	30	27,0	0,2			80	v. Macroséisme N ^o 1122
		iSE	19	30	37,4	0,5		4		
		iSN	19	30	37,5	0,5	2			
		ME	19	30	38,8	0,5		12		
		MN	19	30	40,4	0,5	4			
		CE	19	30	44,5					
F	19	31	10,0							

SÉISMOGRAMMES

Station	Caractère	Phase	Heure t. m. Gr.			Période sec.	Amplitude (microns)		Distance km	Remarques
			h	m	s		A _N	A _E		
Oktober 1927.										
№ 266 — 7 Octobre										
Beograd	O	eN	14	22	27,5	3,3				
		eE	14	22	45,3	1,9				
		eE	14	24	33,5	2,7		3		
		iN	14	24	51,8	4,3	8			
		LN	14	26	09,8	7,1	3			
		LN	14	29	16,5	5,6	3			
		F	15	50						
№ 267 — 7 Octobre										
Beograd	O	eN	15	31	12,5	2,4				
		eE	15	32	46,5	1,3				
		eE	15	33	41,8	3,1		4		
		eN	15	33	49,9	3,8	5			
		LN	15	36	01,5	7,5				
F	15	54								
№ 268 — 8 Octobre										
Beograd	I d	ePN	12	07	11,3				48	v. Macroséisme № 1129
		iPN	12	07	11,3	0,2				
		iSN	12	07	17,9	0,4	2			
		iSE	12	07	18,5	0,4		8		
		ME	12	07	21,1	0,4		14		
		ME	12	07	22,1	0,4		16		
		MN	12	07	22,5	0,4	12			
		MN	12	07	27,1	0,4	6			
		CN	12	07	32,4					
		CE	12	07	46,6					
F	12	08								
№ 269 — 8 Octobre										
Beograd	II v	ePE	19	49	53,9				525	Ressenti à Wien
		eN	19	49	55,0	0,7				
		iE	19	49	57,1	1,7		2		
		iSE	19	50	51,6	1,7		6		
		iN	19	50	52,9	2,5	10			
		iE	19	51	01,3	1,3		6		
		iN	19	51	02,4	2,5	10			
		iSE	19	51	15,8	1,5		10		

SÉISMOGRAMMES

Station	Caractère	Phase	Heure t. m. Gr.			Période sec.	Amplitude (microns)		Distance km	Remarques
			h	m	s		A _N	A _E		
		iSN	19	51	16,0	2,5	8			
		ME	19	51	19,7	1,9		26		
		MN	19	51	27,5	2,5	14			
		ME	19	51	39,8	1,9		32		
		LN	19	51	40,5	2,5	12			
		ME	19	52	03,2	1,9		20		
		iN	19	52	11,9	2,5	14			
		ME	19	52	18,5	1,9		18		
		MN	19	52	25,5	2,5	14			
		F	20	02						
Ljubljana		e	19	50	02					
		e	19	50	40					
№ 270 — 11 Octobre										
Beograd	O	eE	14	47	18,2					Bassin de Fucino
		iE	14	47	39,5					
		iE	14	49	07,5					
		iE	14	49	35,6					
		iE	14	49	51,0					
		iE	14	50	30,6					
		F	14	56						
Mostar		e	14	47	40					
		e	14	48	19					
		e	14	48	52					
		M	14	49	07		5			
№ 271 — 11 Octobre										
Beograd	II d	iPN	15	29	08,6	0,3	7		67	Ressenti à Beograd v. Macroséisme № 1134
		iPE	15	29	10,1	0,3				
		iN	15	29	11,5	0,3	12	18		
		iE	15	29	11,9	0,3				
		iSE	15	29	17,3	0,3				
		iSN	15	29	17,6	0,3	16			
		MN	15	29	22,0	0,3	122			
		MN	15	29	22,7	0,3		250		
		MN	15	29	24,1	0,3	92			

Station	Caractère	Phase	Heure t. m. Gr.			Période sec.	Amplitude (microns)		Distance km	Remarques
			h	m	s		A _N	A _E		
		MN	15	29	26,4	0,3	84	230		
		ME	15	29	26,9	0,3				
		MN	15	29	30,2	0,3	96			
		CN	15	30	03,8					
		CE	15	30	51,0					
		F	15	35						
Mostar	e		15	31	52					
N^o 272 — 12 Octobre										
Beograd	II d	ePN	7	20	27,1	0,4		110	Ressenti à Beograd v. Macro-séisme N ^o 1144	
		iPN	7	20	28,0	0,4	10			
		iE	7	20	29,2	0,3				2
		iE	7	20	29,9	0,3				6
		iN	7	20	30,3	0,4	10			
		iE	7	20	33,2	0,3				47
		iN	7	20	33,6	0,4	14			
		iN	7	20	36,3	0,4	46			
		iE	7	20	37,0	0,3				36
		iSN	7	20	41,3	0,4	32			
		iSE	7	20	43,7	0,3				120
		MN	7	20	44,4	0,4	172			
		ME	7	20	45,4	0,4				224
		ME	7	20	47,4	0,3				218
		ME	7	20	49,8	0,3				162
		ME	7	20	51,0	0,3				71
		MN	7	20	51,1	0,3	170			
MN	7	20	54,0	0,4	157					
ME	7	20	58,0	0,3		90				
ME	7	21	28,4	0,3		62				
MN	7	21	29,6	0,4	32					
F	7	30								
Mostar	e		7	22	54					
N^o 273 — 17 Octobre										
Mostar	II d	P	18	24	34			30	v. Macro-séisme N ^o 1155	
		S	18	24	39					
		M ₁	18	24	42		5			
		M ₂	18	24	50					
		M ₃	18	24	57		2			
		F	18	25	24					

Station	Caractère	Phase	Heure t. m. Gr.			Période sec.	Amplitude (microns)		Distance km	Remarques
			h	m	s		A _N	A _E		
N^o 274 — 24 Octobre										
Beograd	II d	ePN	7	33	24,9	0,4	2	80	v. Macro-séisme N ^o 1163	
		ePE	7	33	25,8	0,3				2
		iE	7	33	27,0	0,4				14
		iSN	7	33	35,7	0,4				9
		iSE	7	33	36,7	0,4				20
		iE	7	33	39,6	0,4				20
		MN	7	33	39,9	0,4	48			
		ME	7	33	40,5	0,4				56
		ME	7	33	42,4	0,4				37
		MN	7	33	42,7	0,4	28			
		CN	7	34	03,9					
FN	7	34	39,0							
N^o 275 — 24 Octobre										
Ljubljana	II n	iP	16	11	20			17,0	45	110
		e	16	14	26					
		eS	16	21	01					
		e	16	29	36					
		L	16	34						
		ME,N	16	45						
		F	20	24	(?)					
Beograd	II u	iPN	16	11	40,7	3,5	2	8470		
		ePE	16	11	42,7	2,4				
		SE	16	21	23,9	5,0				14
		iSN	16	21	24,4	5,2	6			
		eLN	16	30	13,8	46,0	4			
		eLN	16	38	11,6	32,4	5			
		LN	16	43	09,5	22,8	10			
		MN	16	47	36,5	15,4	12			
		MN	16	48	05,5	16,8	16			
		LN	16	51	06,5	10,6	8			
		MN	16	54	31,1	14,0	18			
		MN	16	56	13,8	13,1	12			
		LN	16	58	59,2	14,1	8			
		LN	16	59	59,4	14,9	8			
		eLN	17	01	52,0	17,3				
		LN	17	03	47,7	14,0	10			
LN	17	16	06,0	13,0	3					
F	17	50								
Destructeur en Alaska (Klondyke)										

SÉISMOGRAMMES

Station	Caractère	Phase	Heure t. m. Gr.			Période sec.	Amplitude (microns)		Distance km	Remarques
			h	m	s		A _N	A _E		
N^o 276 — 30 Octobre										
Beograd	I u	ePE	4	46	22,7	0,3			50	
		ePN	4	46	23,4	0,3				
		iSE	4	46	29,3	0,3				
		SN	4	46	30,1	0,3	2			
		ME	4	46	32,6	0,3		4		
		iN	4	46	34,7	0,3	3			
		ME	4	46	35,5	0,3		8		
		CE	4	46	46,1					
		F	4	47	38,2					
Novembre 1927.										
N^o 277 — 2 Novembre										
Beograd	I d	ePN	0	46	06,7				85	v. Macroséisme N ^o 1176
		ePE	0	46	08,8	0,4				
		iN	0	46	08,8		1			
		iSN	0	46	17,9	0,4	4			
		iSE	0	46	20,6	1,5		22		
		MN	0	46	22,1	0,4	10			
		ME	0	46	25,1	1,5		50		
		CN	0	46	48,8					
		F	0	49	25,0					
N^o 278 — 2 Novembre										
Beograd	I d	ePN	1	13	37,2				70	v. Macroséisme N ^o 1177
		ePE	1	13	39,4	0,4				
		SN	1	13	46,5	0,4	3			
		iSE	1	13	48,3	1,3		6		
		MN	1	13	50,2	0,4	4			
		ME	1	13	55,1	1,6		22		
		CN	1	14	07,1					
		F	1	15	35,4					
N^o 279 — 4 Novembre										
Ljubljana	e	eS	14	03	45				19	90
		i	14	14	21					
		L	14	15	12					
		M	14	32						
		F	14	43						
		F	15	18						

SÉISMOGRAMMES



Station	Caractère	Phase	Heure t. m. Gr.			Période sec.	Amplitude (microns)		Distance km	Remarques				
			h	m	s		A _N	A _E						
Beograd	I u	ePN	14	04	19,8	2,7			10.200	Destructeur en Californie				
		ePE	14	04	19,8	1,5								
		eSN	14	15	25,6	7,5								
		eSE	14	15	26,4									
		eLN	14	35	12,0	18,0								
		LE	14	40	07,8	14,0								
		LN	14	40	07,9	18,1	4							
		MN	14	41	42,3	19,7	6							
		LE	14	43	11,7	19,1		3						
		LN	14	46	18,1	27,0	4							
		LN	14	47	27,8	15,0	7							
		F	15	14										
		N^o 280 — 8 Novembre												
		Beograd		eN	3	24	07,4	1,9					4	Séismogramme vague
eE	3			24	07,8	2,0								
eN	3			27	09,7	2,8								
eN	3			27	10,8	3,9								
N^o 281 — 14 November														
Beograd	I u	iPN	0	21	32,0	3,5	4		6020	Sibérie				
		eN	0	24	38,6	2,1	2							
		iN	0	26	54,0	3,8	3							
		iSN	0	29	08,2	5,2	8							
		iN	0	36	32,1	5,1	6							
		iN	0	37	49,7	5,2	8							
		eLN	0	39	46,9	10,9	4							
		LN	0	41	41,6	9,6	4							
		MN	0	42	50,9	94,7	22							
		MN	0	43	57,0	4,6	24							
		iN	0	46	03,4	5,2	16							
		MN	0	47	51,2	13,5	16							
		iN	0	51	18,1	9,4	14							
		F	1	19										
Ljubljana		eP	0	21	36									
		e	0	27	37									
		eS	0	29	37									
		eL	0	38	12									
		M	0	42										
		F	1	30										

SÉISMOGRAMMES

Station	Caractère	Phase	Heure t. m. Gr.			Période sec.	Amplitude (microns)		Distance km	Remarques
			h	m	s		A _N	A _E		
N ^o 282 — 14 Novembre										
Beograd	II u	ePN	5	06	03,2	3,8	2	6020	Réplique	
		eN	5	12	38,4	3,1	3			
		iSN	5	13	41,0	4,4	3			
		iN	5	18	01,6	7,2	4			
		iN	5	21	03,7	5,0	12			
		iN	5	22	21,9	4,5	14			
		iN	5	24	10,1	4,5	16			
		iN	5	26	03,0	5,3	22			
		MN	5	26	45,8	4,8	35			
		MN	5	27	25,9	4,4	46			
		MN	5	27	41,1	5,0	50			
		MN	5	28	31,4	4,2	54			
		iLN	5	32	14,0	14,1	10			
		iLN	5	35	50,4	9,8	16			
F	6	30								
Ljubljana		e	5	06	26					
		e	5	06	54					
		e	5	09	53					
		eS	5	14	16					
		e	5	20	27					
		eL	5	27						
		M ₁	5	29						
F	9	00	(?)							
N ^o 283 — 18 Novembre										
Beograd		e(P) _N	12	52	04,0	5,0	4		Séismogramme vague Sur la composante E W n'est pas enregistré	
		eN	12	53	28,9	7,1				
		F	13	06						
N ^o 284 — 27 Novembre										
Beograd	d	ePN	13	16	35,8			330		
		ePE	13	16	37,8	0,3				
		iSN	13	16	47,1		2			
		iSE	13	16	47,2	0,4	6			
		ME	13	16	48,2	0,4	12			
		MN	13	16	49,2	0,4	14			
		ME	13	16	49,9	0,4	10			
		MN	13	16	50,5	0,4	5			
		ME	13	16	56,4	0,4	4			
F	13	17	35,9							

SÉISMOGRAMMES

Station	Caractère	Phase	Heure t. m. Gr.			Période sec.	Amplitude (microns)		Distance km	Remarques
			h	m	s		A _N	A _E		
N ^o 285 — 28 Decembre										
Beograd	I u	ePN	18	32	07,4	4,0	10	8430	Kamtchatka	
		ePE	18	32	10,3	2,6				
		eN	18	33	27,9	3,6	4			
		eN	18	34	54,4	3,8	5			
		eSN	18	41	49,5	7,8	8			
		eSE	18	41	49,5	6,8				
		eN	18	43	27,4	5,2	4			
		eLN	18	50	46,0	12,0	10			
		eLE	18	57	30,0	13,0				
		LE	18	59	40,4	26,0	5			
		LN	19	00	34,5	10,1	8			
		LE	19	01	27,4	26,0	5			
		iN	19	02	51,1	23,5	10			
		MN	19	05	40,9	9,3	12			
		MN	19	09	38,0	14,3	18			
		LE	19	09	48,4	15,6	3			
		MN	19	14	08,4	14,3	12			
LN	19	15	51,6	12,0	10					
LE	19	17	25,9	11,5	2					
LN	19	21	45,6	13,0	12					
F	20	12								

2^o. — LE TREMBLEMENT DE TERRE DU RUDNIK

(15 mai 1927)

Par M^{lle} MILKA SIMOVIĆ, prof.
chef du service microséismique

INTRODUCTION

Le 15 mai 1927, au lever de l'aurore, un violent tremblement de terre s'est produit dans le vaste système montagneux du Rudnik. Les désastres constatés ont abouti du degré IX de l'échelle Forel-Mercalli, adoptée par l'Association internationale de séismologie.¹⁾

La première secousse ruineuse fut repliquée avec violence remarquable et toutes les deux furent suivies d'une série entière de tremblements plus ou moins forts. Leurs épacentres varièrent de positions entre l'arc du cercle 80 km. au S de Beograd. Les chocs n'étaient pas isolés, mais reliés d'un frémissement continu du sous-sol.

Il paraît que la première et la plus forte secousse fut causée par la commotion d'une quantité énorme, laquelle en affaiblissant graduellement ses oscillations provoqua entre ses dimensions des nouveaux tremblements.

Dans la durée de 135 heures (du 15 mai 2 h 47 m au 20 mai 20 h 18 m) les séismographes à Tašmajdan ont enregistré 80 tremblements de terre et dans la zone ébranlée on en a ressenti 358. C'est à dire chaque 1 h 40 m à peu près fut marqué un séisme et les secousses bien sensibles se succédaient à la vitesse d'à peu près trois par heure.

Il fallait que le phénomène désastreux fut mis en jeu par une énergie considérable; il était inscrit dans tous les observatoires européens, même par les séismographes éloignés de Ksara, Ottava et Manilla.

Dans les endroits de Rudnik au cours de l'année 1927 à partir de cette date les tremblements de terre se succédèrent encore pendant

¹⁾ Il Conference internationale de séismologie 1903.

les mois de mai, juin, juillet et octobre. Cette activité sismique attira l'attention de la station sismologique la plus près — l'Institut sismologique de Beograd — et lui a paru utile de la soumettre à une étude micro-et macrosismique détaillée. Les travaux sont en train et viendront publiés dans une monographie. Cette annexe au catalogue microsismique doit servir pour une orientation approximative et relative à la première secousse seulement.

Interprétation des séismogrammes.

D'après les nombreuses inscriptions de ce séisme le nombre de séismogrammes originaux ou de leurs reproductions photographiques disponibles n'était pas grand. Les stations sismologiques de Barcelona, Budapest, Hamburg, Pulkovo, Sofia, Strasbourg, Zagreb et Zürich ont bien voulu adresser à l'Institut leurs diagrammes et nous sommes heureux d'exprimer ici nos sentiments de gratitude au Messieurs les Directeurs.

Les inscriptions originales de Roma, München et Wien nous auront été d'une utilité immense et il est à regretter qu'on se soit livré seulement aux résultats des analyses.

Pour l'étendue de cette note il suffisait d'interpréter les séismogrammes de quelques stations. On a choisi entre les plus proches celles dont les conditions étaient les plus favorables.

Dans le suivant tableau, résultant de l'analyse des séismogrammes sont résumés: les coordonnées géographiques ϑ et λ (E. de Green), les heures de des débuts de la phase primaire P et les distances épacentrales.

Les stations pour lesquelles on ne possédait pas les inscriptions sont marquées d'un astérisque *).

Le début de la phase principale P est classifié par les chiffres de 1 à 3, à savoir: 1 pour une faible emersion et 3 pour un impetus très net.

Les distances Δ en degré des observatoires à l'épicentre, mesurées sur le grand cercle de la sphère terrestre ont été calculées en considérant le Globe comme sphère d'un rayon 6.370 km par les formules de trigonométrie sphérique:

$$\cos \Delta^{\circ} = \sin \varphi_0 \sin \varphi + \cos \varphi_0 \cos \varphi \cos (\lambda_0 - \lambda)$$

φ_0 , et λ_0 sont les coordonnées de l'épicentre, φ , et λ celles de la station sismologique considérée.

En introduisant l'angle auxiliaire μ tel que

$$\operatorname{tg} \mu = \operatorname{tg} \left(\frac{\pi}{2} - \varphi_0 \right) \cos (\lambda_0 - \lambda)$$

on a à calculer par logarithmes l'expression:

$$\cos \Delta^{\circ} = \cos \frac{\left(\frac{\pi}{2} - \varphi_0 \right) \cos \left(\frac{\pi}{2} - \varphi - \mu \right)}{\cos \mu}$$

La valeur de la distance en degrés passe à sa valeur en kilomètres en multipliant par la constante $\frac{\pi}{180} \cdot 6370 = 111,18$.

N ^o	Station	φ N	λ E. Gr.	P ou \bar{P}	Caractère	Δ°	Δ km
1.	Beograd	44° 49'	20° 22'	2h 47m 29.5 ^s	3	0° 42'	78
2.	Zagreb	45° 49'	15° 59'	2h 48m 13.2 ^s	3	3° 39'	405
3.	Wien *	48° 15'	16° 22'	2h 48m 31.0 ^s	2	4° 56'	548
4.	Rocca di Papa*	41° 46'	12° 43'	2h 49m 49.0 ^s	3	6° 10'	685
5.	München*	48° 9'	11° 37'	2h 49m 05.0 ^s	2	7° 23'	820
6.	Zürich	47° 22'	8° 35'	2h 49m 25.1 ^s	2	8° 52'	984

Détermination de l'épicentre.

La première base pour une détermination de l'épicentre étaient les données macrosismiques. Muni des renseignements assez précis sur la succession du phénomène M. le directeur Mihailović a construit les courbes isoséistes d'où résulta la direction des dégâts maximales NW-SE et la position de l'épicentre macrosismique $\varphi_0 = 44^{\circ} 1' N$, $\lambda^{\circ} = 20^{\circ} 30' EGr$, c'est à dire un lieu situé dans les environs des villages de Bijelo Polje, Gornja et Donja Vrbava.

L'épicentre microsismique, dont le foyer peut être plane ou presque un volume, on prend comme centre des cercles isochroniques en admettant que les rayons de l'énergie se propagent dans toutes les directions uniformément à partir du foyer.

De ce point de vue la plus rapide est la méthode constructive de Galitzin à l'aide de paires de stations d'un égal temps d'arrivée de la phase P. Dans le cas du tremblement de terre du Rudnik on ne pouvait pas l'appliquer avec grand succès à cause du manque des paires tout à fait simultanées. La paire Messina — München diffère de 3 secondes, entre Athènes et Firenze la différence est beaucoup plus grande encore, mais on a fait l'essai. Les symmétrales des distances de deux et deux stations se coupaient dans le point $\varphi = 24^{\circ} 11' N$ et $\lambda = 20^{\circ} 30' E$ Gr. Cette position se trouve dans la région intéressée par le séisme, mais ne concorda pas strictement aux dates macro-séismiques.

Afin d'une détermination précise on a adopté la méthode hyperbolique²⁾ de M. A. Mohorovičić. Cette méthode graphique prend en considération seulement le temps d'arrivée des ondes longitudinales (P) aux observatoires pas trop éloignés. Entre eux il faut choisir les séismogrammes avec des P normales distinctes, car les \bar{P} soulignées ou ondes uniformes³⁾ dépendent de la profondeur du foyer.

Les P normales peuvent s'apercevoir à partir de 100 à 300 km; c'est pour ça qu'on ne choisit pas les stations d'une distance inférieure à 100 km et les stations comprises entre 100 et 300 km exigent de grandes précautions. Le résultat de la méthode est bien sûr pour les distances jusqu'à 1000 km, car jusque là l'hodographe est sûrement une ligne droite.

On a pris Wien-Rocca di Papa, Wien-München et Zagreb-Beograd, bien que Beograd n'atteint pas la limite inférieure de l'intervalle susceptible.

Quand ont été construits les trois courbes épacentrales — c'est à dire les hyperboles avec les paires des stations comme foyers et la différence en secondes de leurs débuts comme rayons vecteurs — on était conduit à une surface triangulaire, construite dans les intersections de hyperboles dont les coordonnées géographiques sont:

$$A... \varphi_1 = 44^{\circ} 8' \quad \lambda_1 = 20^{\circ} 28'$$

$$B... \varphi_2 = 44^{\circ} 8' \quad \lambda_2 = 20^{\circ} 28'$$

$$C... \varphi_3 = 44^{\circ} 10' \quad \lambda_3 = 20^{\circ} 26'$$

Ordinairement on prenait comme épacentre le centre de gravité de cette figure, mais M. A. Mohorovičić l. c. p. 204 a dit: „...ce

²⁾ A. Mohorovičić: Nahbebens. Beitr. zur Geoph. Bd. XIV (1916) H. 3.

³⁾ E. Rothé: Ondes P et \bar{P} , exposé, d'après les travaux de A. Mohorovičić. Publications du bureau int. séism. Série A. Travaux scientifiques, Toulouse 1924 p. 17.

n'est pas exact de considérer le centre de gravité de ce triangle comme épacentre le plus probable, car une de stations peut être connexe d'une faute beaucoup plus importante que les deux autres:⁴⁾

Dans le cas traité un plus fort écart relatif à l'épacentre Zagreb—Beograd serait justifié par le fait que pour Beograd est utilisée l'heure d'arrivée de l'onde uniforme \bar{P} .

Le triangle ABC est situé dans la ligne directrice NW-SE de la zone ébranlée et il a paru susceptible de fournir des résultats qui pourront présenter quelque certitude. En prolongeant BC on forme par l'épacentre macroséismique D un nouveau triangle ACD, dont les coordonnées sont:

$$A... \varphi_1 = 44^{\circ} 7' \quad \lambda_1 = 20^{\circ} 30'$$

$$C... \varphi_3 = 44^{\circ} 10' \quad \lambda_3 = 20^{\circ} 26'$$

$$D... \varphi_4 = 44^{\circ} 1' \quad \lambda_4 = 20^{\circ} 35'$$

Il est possible que l'épacentre soit cette surface indiquée par l'épacentre macroséismique et les données microséismiques, mais la théorie exige pour épacentre le point qui représente le mieux l'étendue de la région focale. Donc en admettant plusieurs résultats possibles entre toutes les interprétations il faut trouver la plus favorable. Le problème se conduit à la méthode „par déplacement de l'épacentre.“⁵⁾ Elle consiste à faire varier les coordonnées géographiques de minute en minute en longitude et en latitude dans la région probable, puis construire les courbes pour chaque de ces points et puis entre ces courbes retenir la plus satisfaisante.

Ce procédé est répété pour tous les points entre $\varphi = 44^{\circ} 1'$ jusqu'à $10'$ latitude et $\lambda = 20^{\circ} 26'$ jusqu'à $35'$ longitude. On a trouvé que la courbe passe au mieux pour les points respectifs au sommet A du triangle:

$$\varphi_0 = 44^{\circ} 7' N, \quad \lambda_0 = 20^{\circ} 30' E \text{ Gr.}$$

Les écarts moyens ε des points construits aux courbes correspondants sont mesurés en mm sur l'échelle: à l'ordonnée de 2 mm correspond 1 seconde, à l'abscisse de 1 mm correspondent 2 km.

La moyenne des écarts $e = \frac{\sum \varepsilon}{n}$, ou n est le nombre de points utilisés, est $e = 0,25$ et l'écart quadratique moyen $E = \sqrt{\frac{\sum \varepsilon^2}{n-1}}$ donne $E = 0,34...$

⁴⁾...es ist nicht richtig, den Schwerpunkt dieses Dreieckes als das wahrscheinlichste Epizentrum zu betrachten, weil eine der Stationen mit einem bedeutend grösseren Fehler behaftet werden kann als die zwei anderen“.

⁵⁾ Mlle J. Dammann: Thèses, Paris 1927. pp. 125, 130.

La relation $\frac{E}{e}$ par son rapport, $\frac{E}{e} = 1,3 \dots$ justifie la méthode adoptée parce que 1,3 est très proche de la valeur 1,25 prévue par le criterium de Cornu:⁶⁾ $\frac{E}{e} = \sqrt{\frac{\pi}{2}}$

La position de l'épicentre exactement fixée on a calculé les distances de stations à l'épicentre comme il est indiqué dans le tableau p. 81.

Détermination de l'hypocentre

Portant attention à l'existence probable de foyers situés à des profondeurs variables on a cherché par interpolation graphique la durée du trajet des ondes P relatif aux courbes à des profondeurs du foyer 0, 25, 45 et 57 km d'après les tables de M. A. Mohorovičić.⁷⁾

En sachant l'heure d'origine épicentrale par une observation directe on pourrait en faire usage profitable respectif à la profondeur focale comme Prince B. Galitzine⁸⁾ l'avait envisagée, mais l'heure épicentrale n'étant pas connue, plusieurs interpretations sont possibles.

Toutefois l'évaluation des courbes pour le tremblement de terre du Rudnik en utilisant les heures d'arrivée des ondes P montra une concordance à la courbe du M. A. Mohorovičić pour la profondeur de 45 km. Les écarts sont les suivants:

Zagreb	Wien	Rocca di Papa	München	Zürich
± 0,0	+ 0,1	+ 0,5	- 0,1	- 0,5

donc ils ont paru susceptibles. Les durées de propagation des ondes P données par cette courbe ont permis de déduire l'heure d'origine du tremblement de terre:

$$T_0 = 2 \text{ h } 47 \text{ m } 22,1 \text{ s}$$

La haute compétence des courbes de M. A. Mohorovičić indiquerait donc pour ce tremblement le foyer à une profondeur de 45 km. M. S. Mohorovičić⁹⁾ a bien attiré l'attention qu'il faut être très prudent dans

⁶⁾ Mlle J. Dammann: Thèses, Paris 1927. pp. 125, 130.

⁷⁾ Tables de A. Mohorovičić, Un. géod. et géoph. int. Travaux scientifiques. Série A, Fasc. N° 1.

⁸⁾ Zur Frage der Bestimmung der Herdtiefe eines Bebens und der Fortpflanzungsgeschwindigkeit der seismischen Wellen in den oberen Erdschichten. Compt. Rend. des Séances de la Commission sismique permanente. St. Petersburg 1913. p. 359.

⁹⁾ S. Mohorovičić: Das Erdinnere, Zeitsch. für angewandte Geoph. Bd 1, 12 (1925.) p. 379.

ce conclusions à cause de l'origine du temps. Pourtant il y a de raisons que cette hypothèse puisse être considérée comme une bonne approximation et le cours du travail suivant en conclura définitivement. Jusqu'au présent la différence de 13 km entre les épicentres micro et macroséismique avec un hypocentre à la profondeur de 45 km donne allusion à une dislocation d'une longueur de 48 km en ligne droite dans la direction NW-SE sous l'angle d'émergence à 73°.

RÉSUMÉ

On a abordé le problème de fixer l'épicentre microséismique pour le tremblement de terre du Rudnik.

En utilisant les heures d'arrivée des ondes P normales par la „méthode hyperbolique“, plus celle „par déplacement de l'épicentre“ on était conduit aux coordonnées résultants pour l'épicentre microséismique:

$$\varphi_0 = 44^\circ 7' \text{ N}, \lambda_0 = 20^\circ 30' \text{ E Gr.}$$

L'heure d'origine n'étant pas connue par observation directes a été déduite par les courbes de M. A. Mohorovičić a

$$T_0 = 2 \text{ h } 47 \text{ m } 22,1 \text{ s}$$

La courbe pour le tremblement traité se montra pratiquement identique à celle du M. A. Mohorovičić pour la profondeur focale de 45 km. Cela permet en première approximation la conclusion que l'hypocentre soit situé dans la profondeur de 45 km, une dislocation d'une 48 km comme l'épicentre macroséismique (13 km éloigné de l'épicentre microséismique) sous l'angle de 73°.

Institut Séismologique de l'Université
de Beograd.

MICROSÉISMES

Octobre 1927.

Date	6 ^h		12 ^h		18 ^h		24 ^h		Maximum			Groupes des oscillations				Remarques
	T sec.	A	T sec.	A	T sec.	A	T sec.	A	T sec.	A	heures h m	Duree		T sec.	A	
												de h m	à h m			
15	—	—	—	—	3,6	1	3,6	1	—	—	—	—	—	—	—	—
16	3,6	1	—	—	—	—	—	—	—	—	—	—	—	—	—	—
17	—	—	—	—	—	—	—	3,3	1	—	—	—	—	—	—	—
18	3,7	1	3,5	1	3,2	1	—	—	—	—	—	—	—	—	—	—
19	—	—	—	—	3,1	1	3,1	1	—	—	—	—	—	—	—	—
20	3,1	1	—	—	—	—	—	—	—	—	—	—	—	—	—	—
Novembre 1927.																
10	—	—	4,0	1	4,2	1	2,9	1	—	—	—	—	—	—	—	—
12	2,8	1	3,2	2	—	—	—	—	—	—	—	—	—	—	—	—
19	—	—	—	—	—	—	3,6	1	—	—	—	—	—	—	—	—
20	3,8	1	3,0	1	3,8	1	—	—	—	—	—	—	—	—	—	—
21	—	—	—	—	—	—	3,6	1	—	—	—	—	—	—	—	—
22	3,5	1	—	—	—	—	—	—	—	—	—	—	—	—	—	—
23	3,2	1	3,7	1	—	—	—	—	—	—	—	—	—	—	—	—
Decembre 1927.																
6	—	—	3,5	1	4,0	1	4,2	1	—	—	—	—	—	—	—	—
7	4,1	1	4,2	1	4,2	1	3,7	1	—	—	—	—	—	—	—	—
8	4,3	1	3,1	1	3,6	1	—	—	—	—	—	—	—	—	—	—
18	—	—	—	—	—	—	2,8	1	—	—	—	—	—	—	—	—
19	3,8	1	4,1	1	—	—	—	—	—	—	—	—	—	—	—	—
23	2,5	1	3,4	2	—	—	—	—	2,4	3	15	30	—	—	—	—
28	—	—	2,8	1	4,9	1	—	—	—	—	—	—	—	—	—	—
29	—	—	—	—	3,5	1	—	—	—	—	—	—	—	—	—	—
30	—	—	3,4	1	4,3	1	—	—	—	—	—	—	—	—	—	—
31	3,1	1	—	—	—	—	—	—	—	—	—	—	—	—	—	—

4°.

CARTE
DES DIRECTIONS AZIMUTALES
ET
DES LIGNES ÉQUIDISTANTES
DE BEOGRAD

PAR

† G. GRABLOWITZ

DIRECTEUR DE L'OBSERVATOIRE GÉOPHYSIQUE A ISCHIA

Liste des coordonnées géographiques des intersections des directions azimutales avec les lignes équidistantes de Beograd en distances de 1000 à 1000 km.

Distances de Beograd	Latitude vers le Nord	Longitude E. de Greenw.		Latitude	Longitude E. de Greenw.		Latitude	Longitude E. de Greenw.		Latitude	Longitude E. de Greenw.		Latitude	
		NNE	NNW		NE	NW		ENE	WNW		E	W		
Km. 1000	Longitude à l'est de Cr. = 20° 27' à l'est de Greenwich = 159° 33' ou 200° 27' à l'ouest de Greenwich	53° 49'	26° 10'	14° 44'	53° 0' N	30° 31'	10° 13'	50° 46' N	32° 50'	8° 4'	47° 37' N	33° 2'	7° 52'	44° 7' N
2000		+ 62° 49'	34° 29'	6° 25'	60° 48'	43° 13'	357° 41'	55° 38'	46° 14'	354° 40'	48° 51'	45° 4'	355° 48'	42° 6'
3000		71° 49'	47° 46'	353° 8'	67° 45'	58° 48'	342° 6'	58° 51'	59° 55'	340° 1'	48° 42'	56° 9'	344° 45'	38° 54'
4000		80° 49'	70° 6'	330° 48'	72° 50'	76° 24'	324° 30'	59° 53'	73° 3'	327° 51'	46° 52'	65° 16'	335° 38'	34° 46'
5000		89° 49'	101° 49'	299° 5'	74° 7'	93° 56'	306° 58'	58° 33'	85° 1'	315° 53'	43° 40'	75° 6'	325° 48'	29° 54'
6000		81° 11'	130° 3'	270° 51'	70° 49'	109° 5'	291° 49'	55° 6'	95° 34'	305° 20'	39° 21'	83° 11'	317° 43'	24° 29'
7000		72° 11'	147° 37'	253° 17'	64° 41'	121° 25'	279° 29'	50° 5'	104° 47'	296° 7'	34° 11'	90° 35'	310° 19'	18° 40'
8000		63° 11'	158° 11'	242° 43'	57° 15'	131° 12'	269° 42'	44° 1'	112° 53'	288° 1'	28° 26'	97° 28'	303° 26'	12° 35'
9000		54° 11'	165° 5'	235° 49'	49° 15'	139° 5'	261° 49'	37° 17'	120° 8'	280° 46'	22° 14'	104° 2'	296° 52'	6° 30' N
10000		45° 11'	170° 1'	230° 53'	40° 57'	144° 38'	255° 16'	30° 6'	126° 46'	274° 10'	15° 45'	110° 27'	290° 27'	0° 0'
11000		36° 11'	173° 50'	227° 4'	32° 29'	151° 16'	249° 38'	22° 39'	132° 56'	267° 58'	9° 5'	116° 52'	284° 2'	6° 20' S
12000		27° 11'	177° 0'	223° 54'	23° 55'	156° 19'	244° 35'	15° 1'	138° 53'	262° 1'	2° 19' N	123° 26'	277° 28'	12° 35'
13000		18° 11'	179° 45'	221° 9'	15° 18'	161° 1'	239° 53'	7° 17' N	144° 48'	256° 6'	4° 29' S	130° 19'	270° 35'	18° 40'
14000		9° 11'	182° 18'	218° 42'	6° 39' N	165° 33'	235° 21'	0° 29' S	150° 49'	250° 5'	11° 13'	137° 43'	263° 11'	24° 29'
15000		+ 0° 11'	184° 45'	216° 15'	2° 0' S	170° 5'	230° 48'	8° 16'	157° 7'	243° 47'	17° 51'	145° 48'	255° 6'	29° 54'
16000		- 8° 49'	187° 14'	213° 46'	10° 40'	174° 50'	226° 4'	15° 59'	163° 54'	237° 0'	24° 15'	155° 38'	245° 16'	34° 46'
17000		17° 49'	189° 51'	211° 9'	19° 18'	179° 56'	220° 58'	23° 36'	171° 23'	229° 31'	30° 19'	164° 45'	236° 9'	38° 54'
18000		26° 49'	192° 46'	208° 14'	27° 54'	185° 40'	215° 14'	31° 1'	179° 29'	221° 25'	35° 54'	175° 50'	225° 4'	42° 6'
19000		35° 49'	196° 12'	204° 48'	36° 25'	192° 22'	203° 42'	38° 9'	189° 27'	211° 27'	40° 49'	187° 52'	213° 2'	44° 7'
20000		44° 49'	200° 27'		44° 49' S		200° 27'	44° 49' S		200° 27'	44° 49' S		200° 27'	44° 49' S